



**FACHHOCHSCHULE
WIENER NEUSTADT**
Austrian Network for Higher Education



Competence Center for Preclinical Imaging and Biomedical Engineering

Faculty of Health, University of Applied Sciences Wiener Neustadt, Austria

Univ.-Lektor Ing. Dr. Markus Zeilinger, BSc MSc MBA

Head of Competence Center for Preclinical Imaging and Biomedical Engineering

Head of Bachelor study programme „Radiological Technology“

Head of Master study programme „MedTech – Functional Imaging, Conventional and Ion Radiotherapy“

Head of Mast study programme „Sonography“

University of Applied Sciences Wiener Neustadt, Austria



FACHHOCHSCHULE
WIENER NEUSTADT

Austrian Network for Higher Education

Forschungsteam



Head of research institute

Univ.-Lektor Ing. Dr. Markus ZEILINGER, BSc MSc MBA

+43 50421 1263

markus.zeilinger@fhwn.ac.at



Study services

Birgit PRUDIC

+43 50421 1208

birgit.prudic@fhwn.ac.at



Academic staff member

Vanessa FRÖHLICH, BSc MSc

+43 50421 1266

vanessa.froehlich@fhwn.ac.at



Academic staff member

Petra GRÖGER, MSc

+43 50421 1265

petra.groeger@fhwn.ac.at



Animal Care Taker

Tina Pfeiffer

+43 50421 1265

tina.pfeiffer@meduniwien.ac.at



Academic staff member

Sabine LEITNER, MSc

+43 50421 1264

sabine.leitner@fhwn.ac.at



Academic staff member

DI Michael RAUTER

+43 50421 1242

michael.rauter@fhwn.ac.at



PhD Student

Silvia STOCCHIERO, BSc MSc

+43 50421 1265

silvia.stocchiero@fhwn.ac.at



Academic staff member

DI Esaú POBLADOR RODRÍGUEZ, MSc PhD

+43 50421 1268

esau.pobladorrodriguez@fhwn.ac.at



Veterinarian

Mag. Katharina HILL

+43 50421 1267

katharina.hill@fhwn.ac.at



PhD Student

Isselmou Abdarahmane, BSc MSc

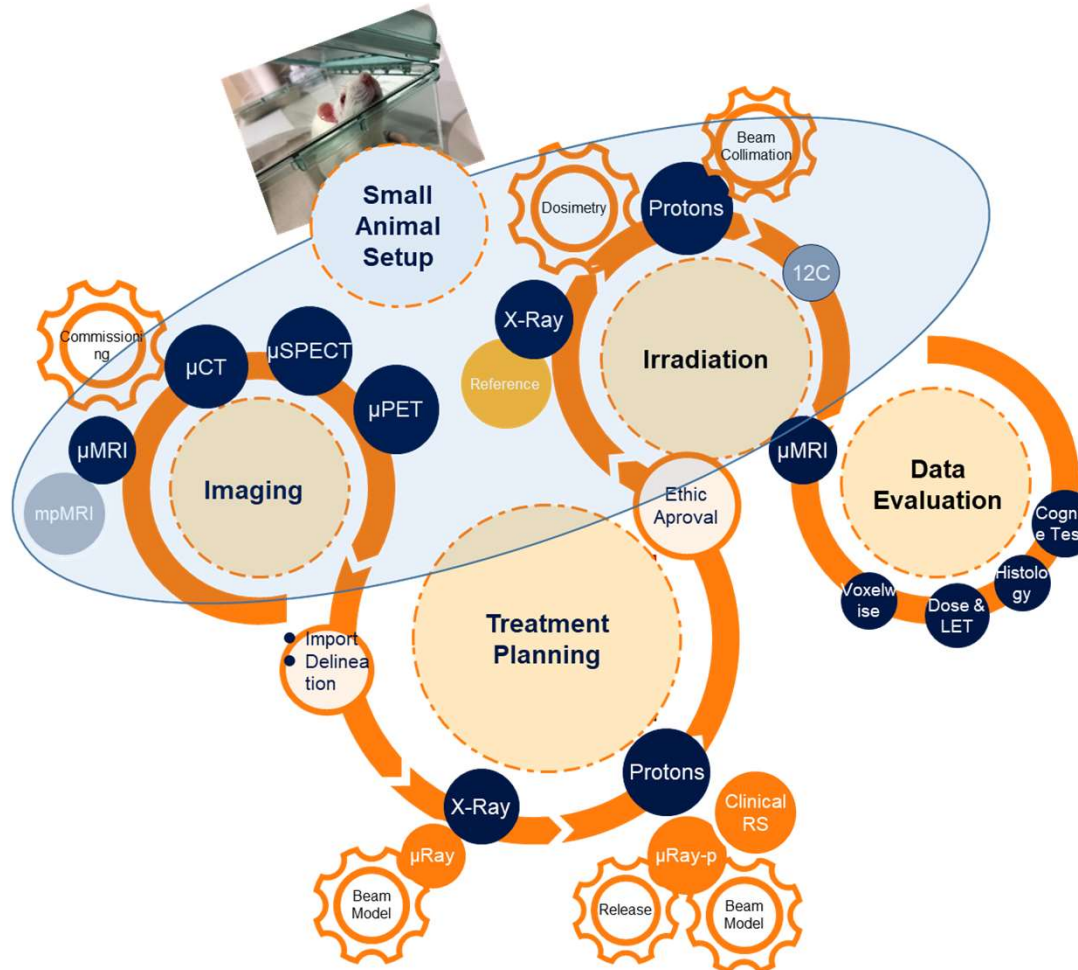
+43 50421 1265

i.mohamedabdarakhmane@fhwn.ac.at



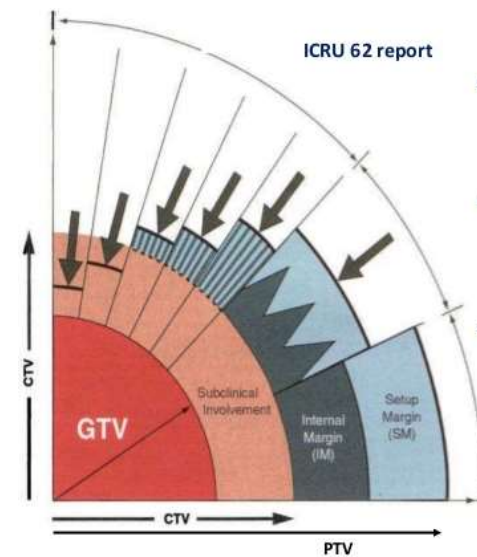
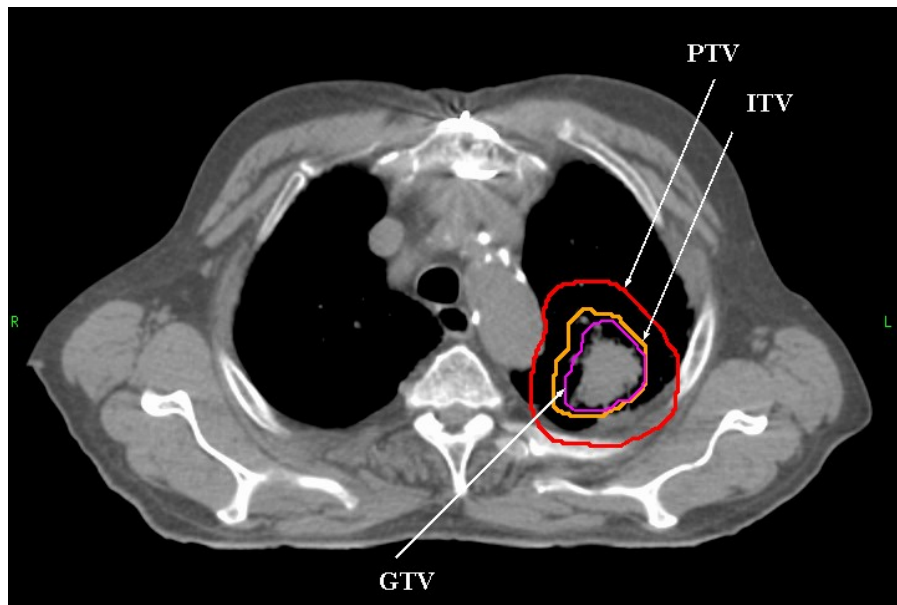
Kompetenzzentrum für Präklinische Bildgebung und Medizintechnik

FACHHOCHSCHULE
WIENER NEUSTADT
Austrian Network for Higher Education





Aspekte bei der Zielvolumendefinition



- GTV = Gross Tumour Volume
= Macroscopic tumour
- CTV = Clinical Target Volume
= Microscopic tumour
- PTV = Planning target Volume

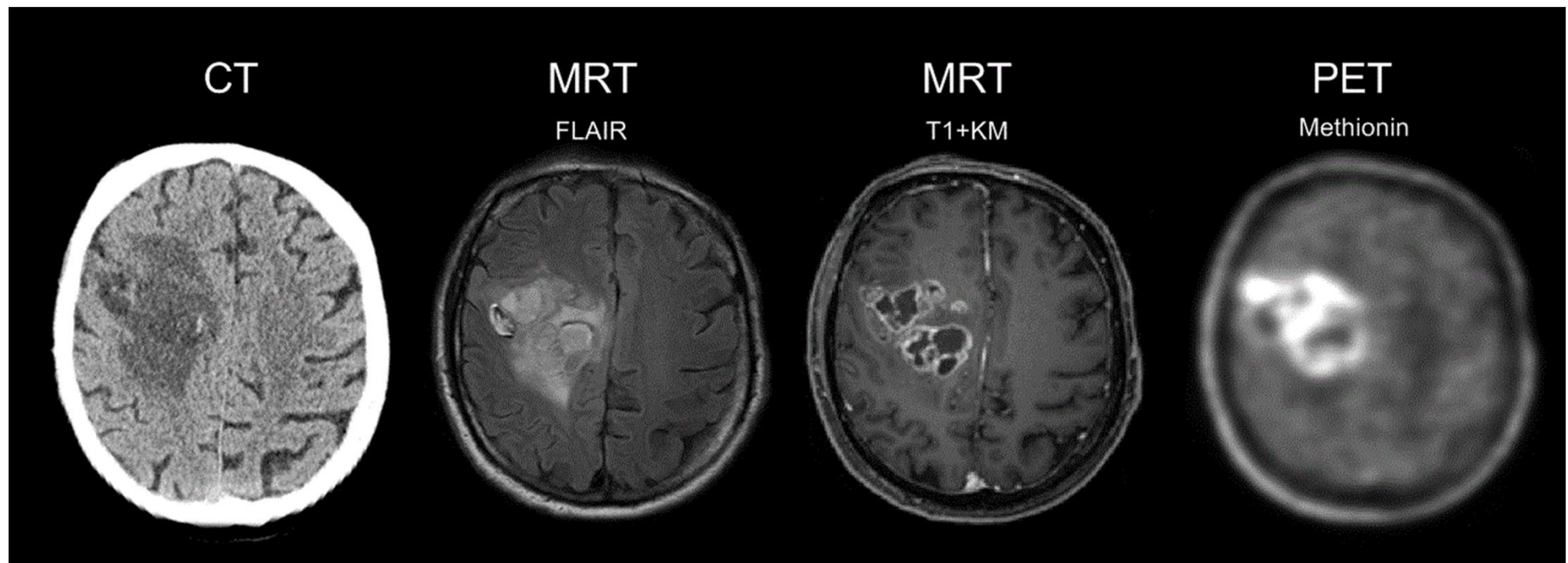
Advice: Always use the ICRU reports to specify and record dose and volume

Baumert et al. IJROBP 2006 Sep 1;66(1):187-94



Aspekte bei der Zielvolumendefinition

Ein Tumor hat viele Gesichter !!!

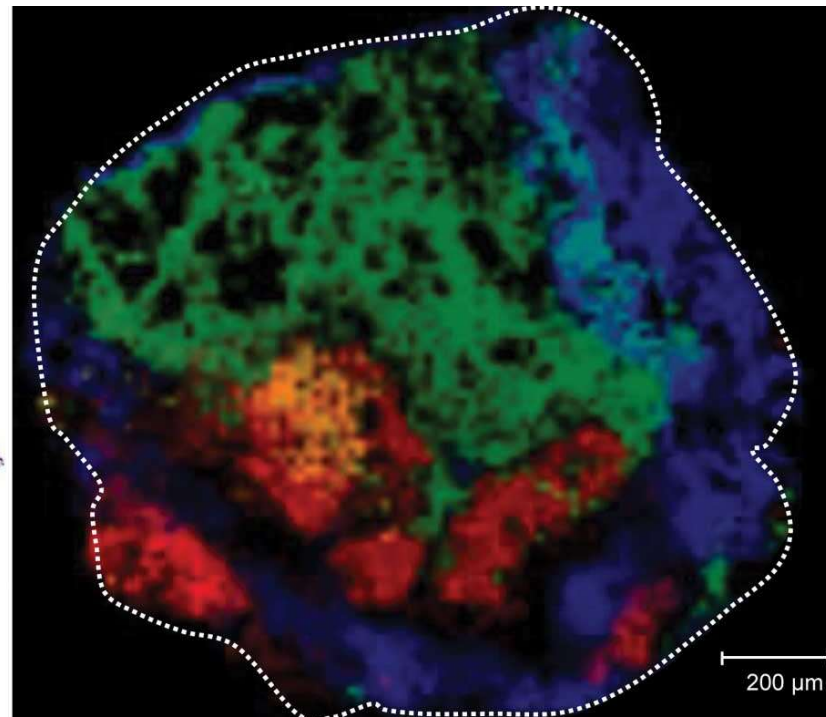
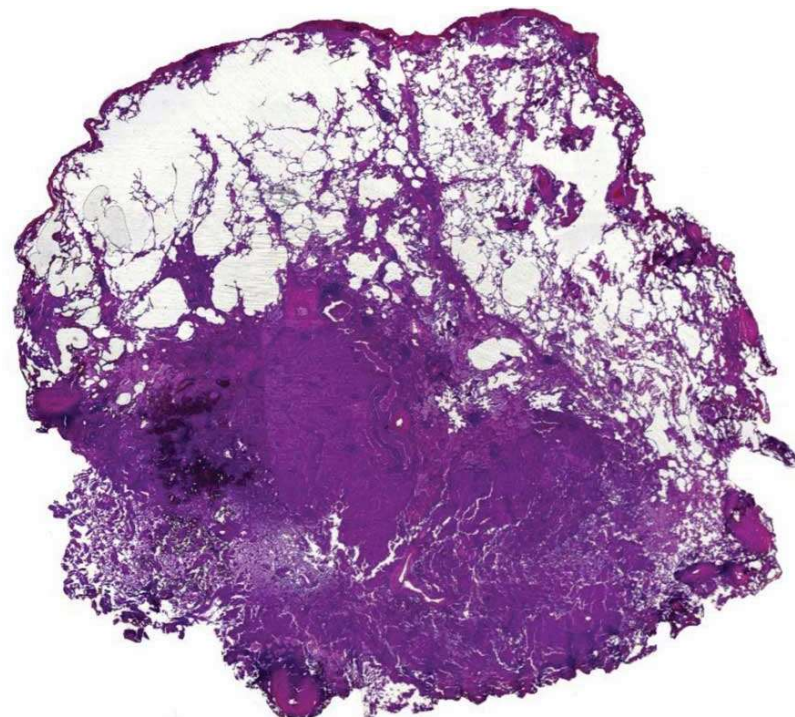




Aspekte bei der Zielvolumendefinition

Ein Tumor hat viele Gesichter !!!

FACHHOCHSCHULE
WIENER NEUSTADT
Austrian Network for Higher Education



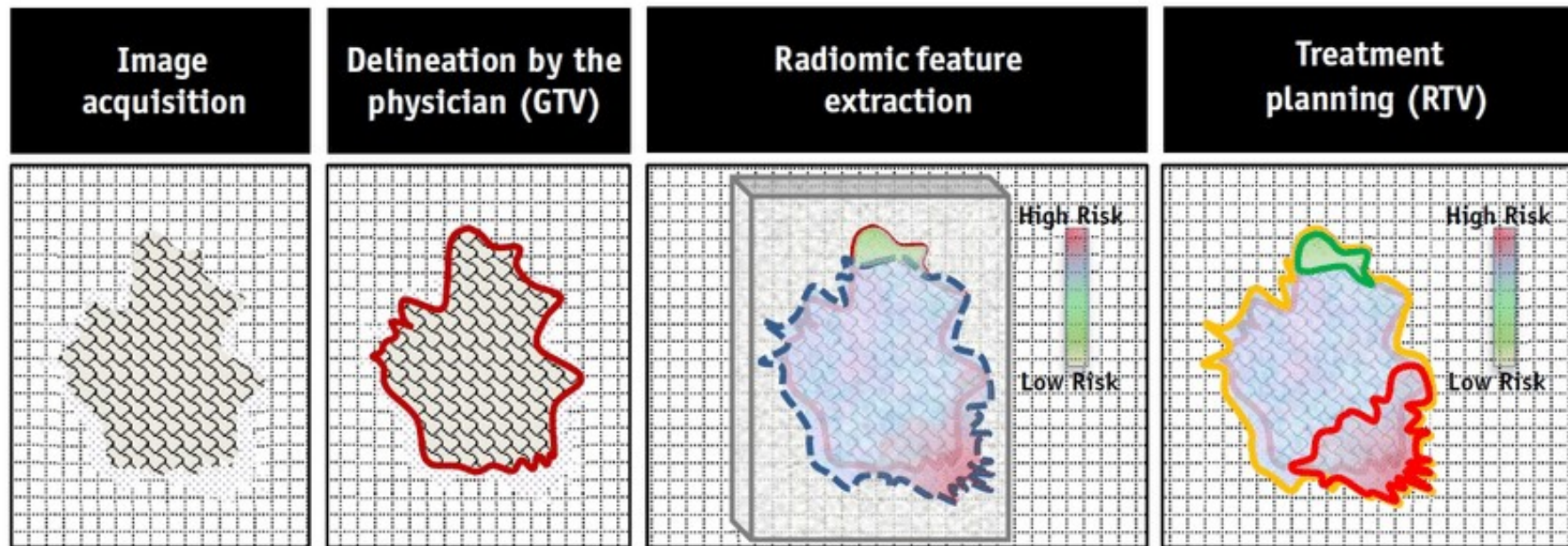
Bildquellen:
Zeilinger et al. 2015



Aspekte bei der Zielvolumendefinition

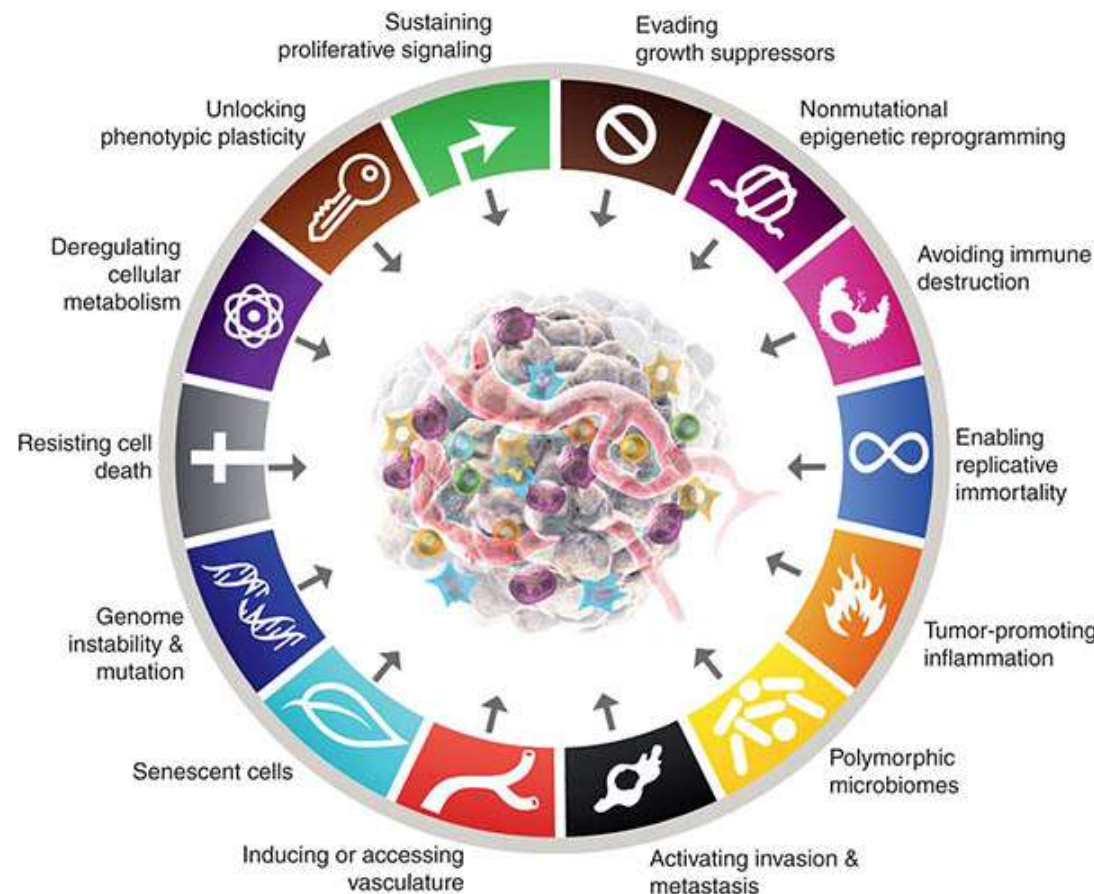
Aspekte für die Zielvolumendefinition

Morphologische und molekulare Information → **komplementär**



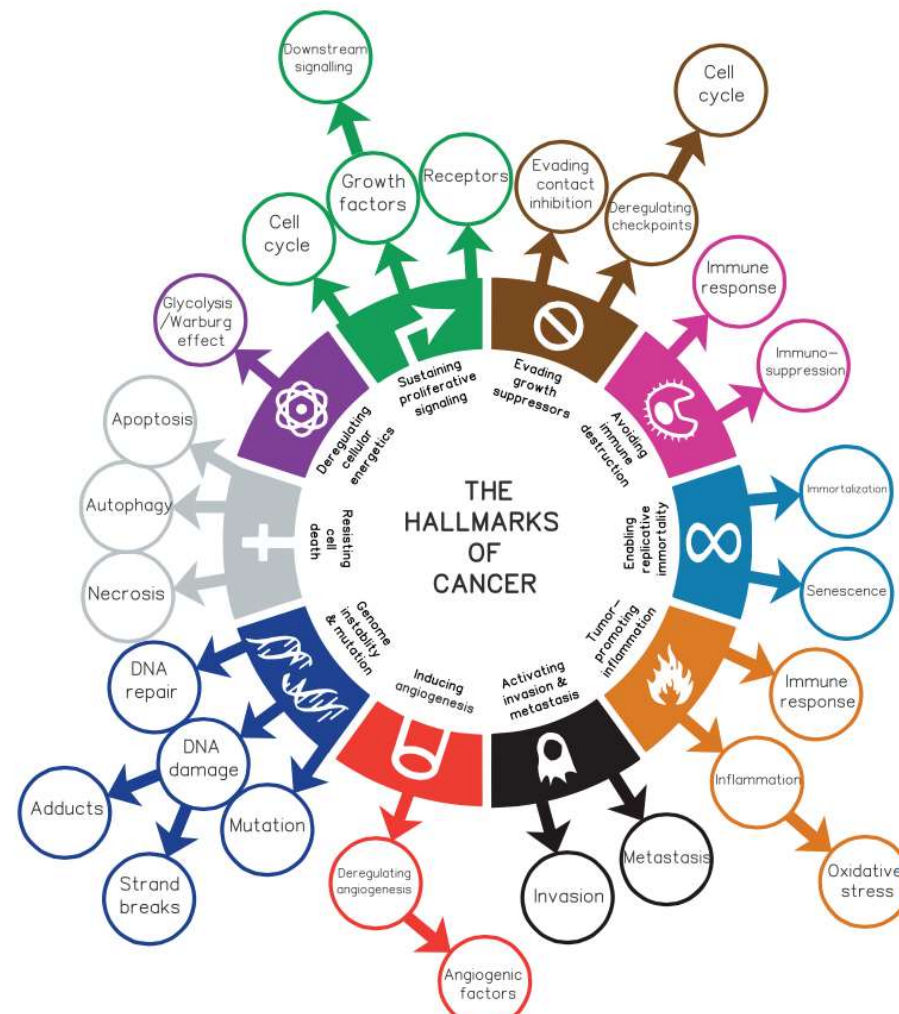


Molecular imaging of specific tumor(patho)physiological processes



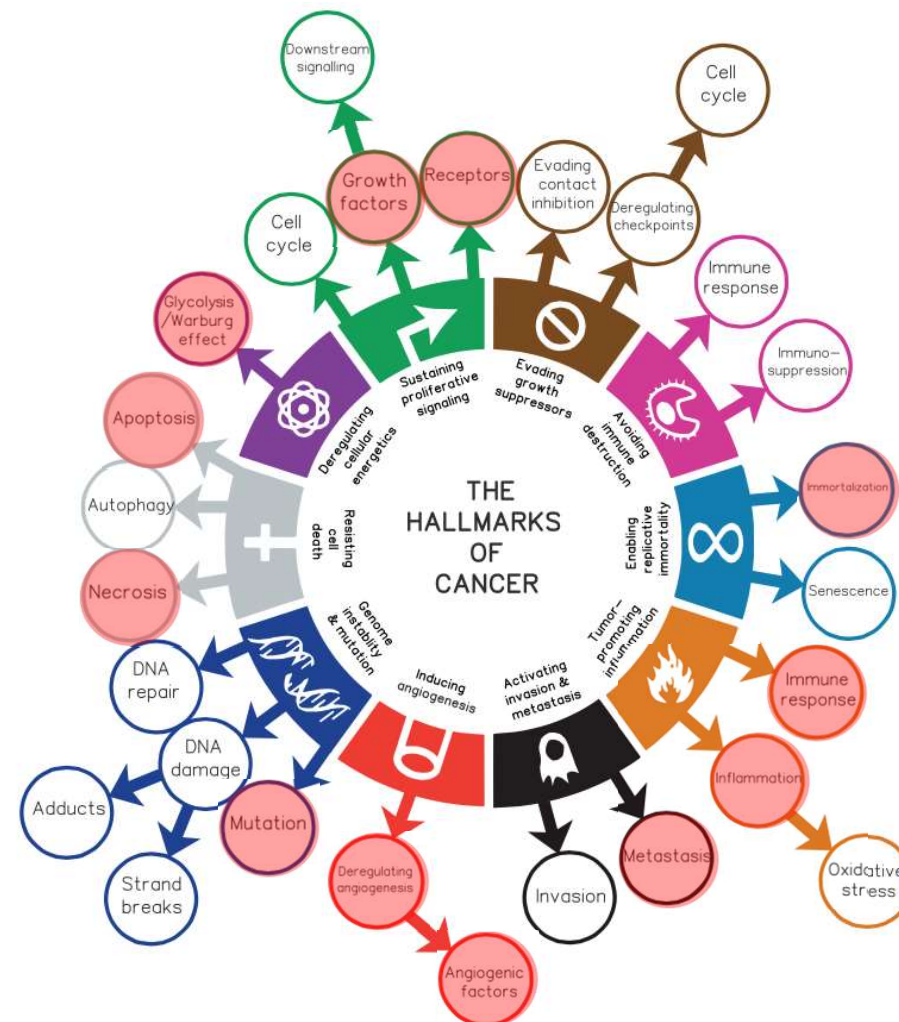


Molecular imaging of specific tumor(patho)physiological processes



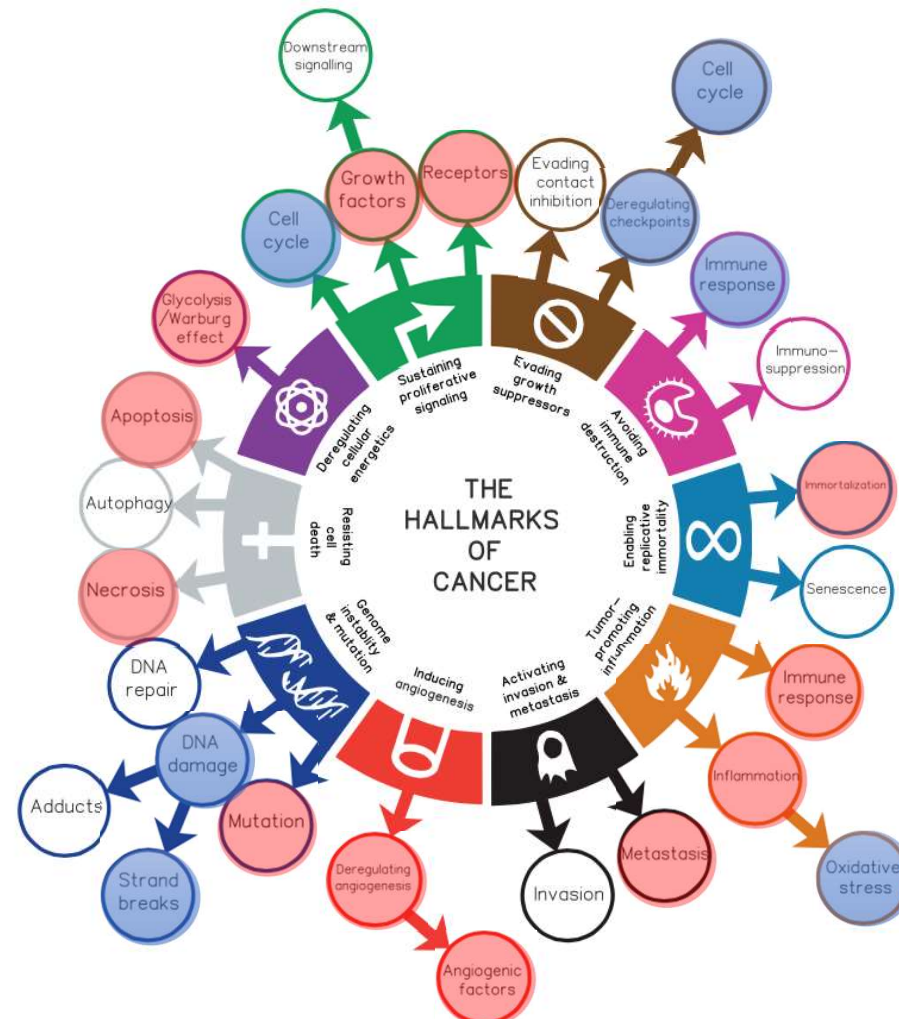


Molecular imaging of specific tumor(patho)physiological processes





Molecular imaging of specific tumor(patho)physiological processes

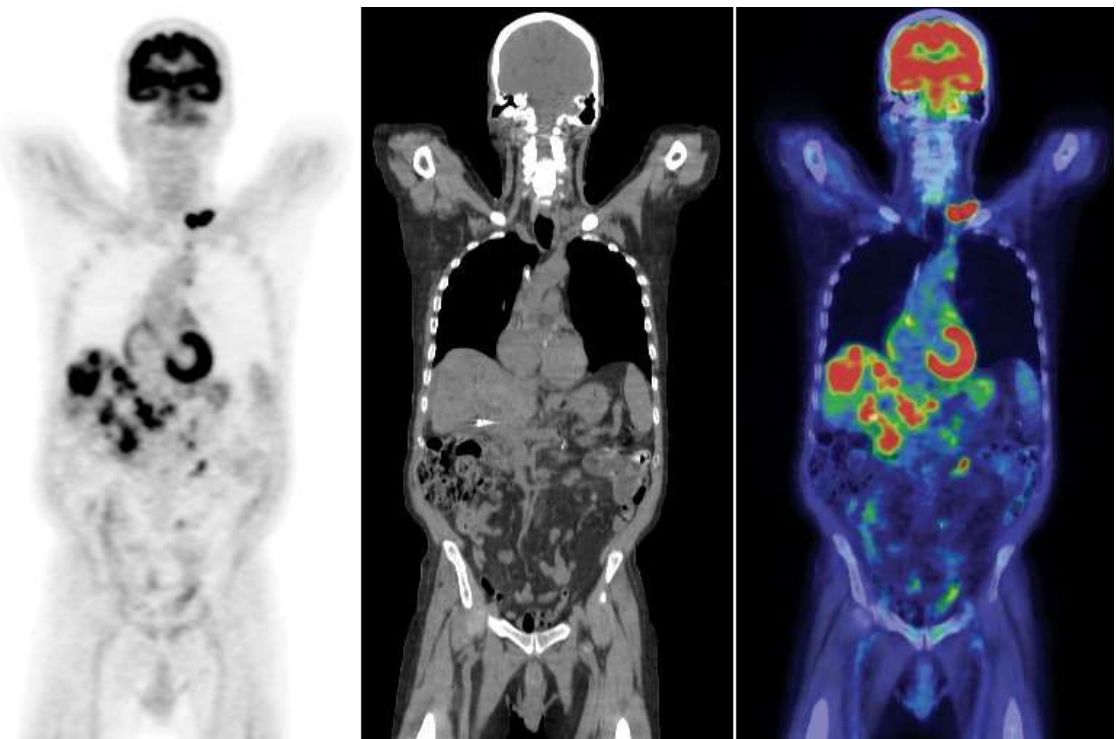
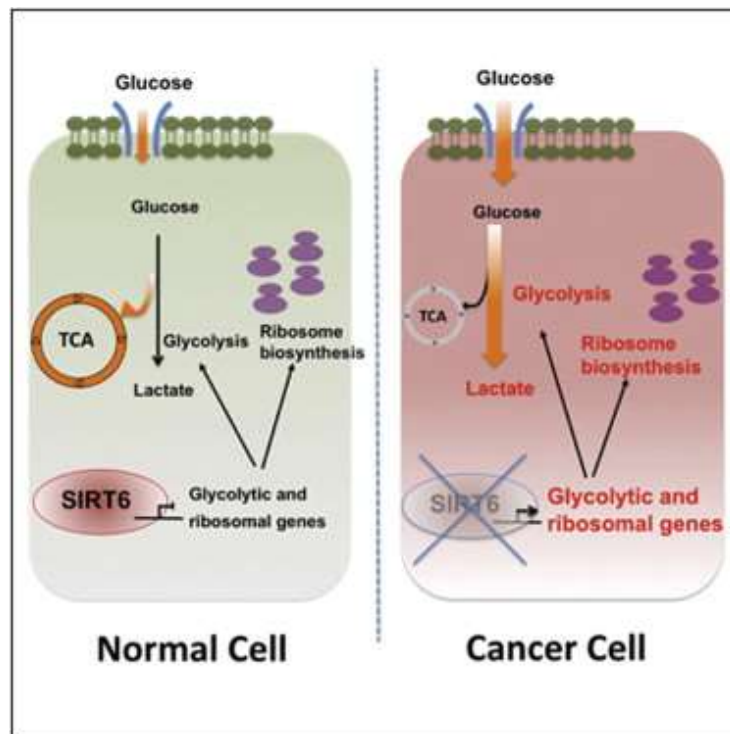




Molecular imaging with PET in radiotherapy

Change of energy metabolism

[¹⁸F]FDG → glucose utilization

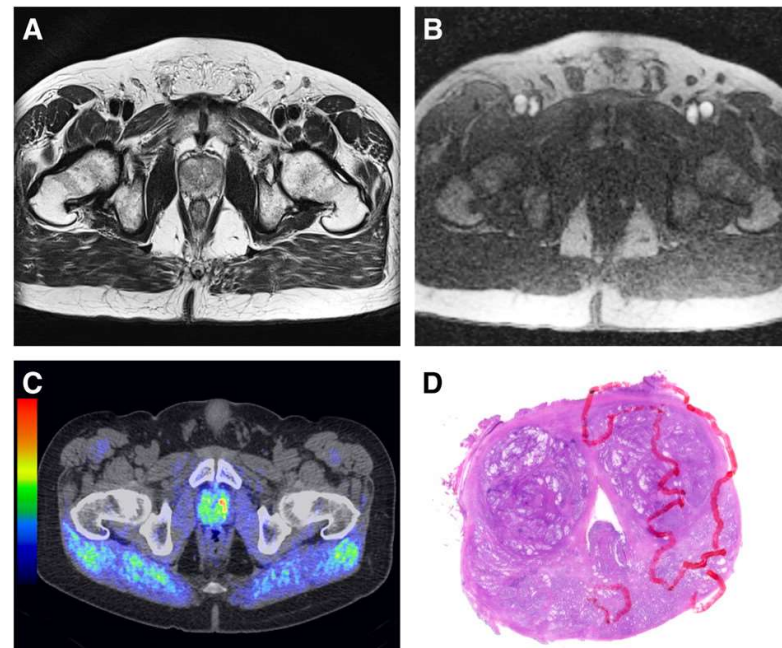
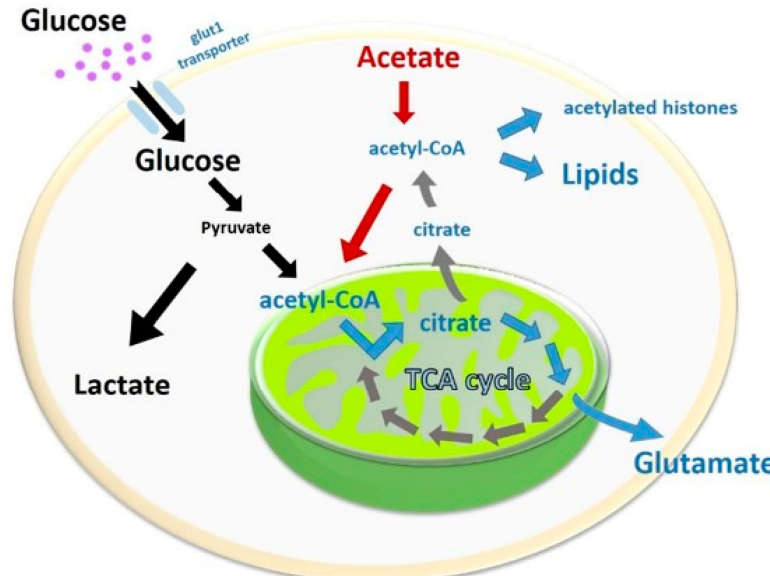




Molecular imaging with PET in radiotherapy

Changes of lipid homeostasis

[¹¹C]Acetat → lipid homeostasis



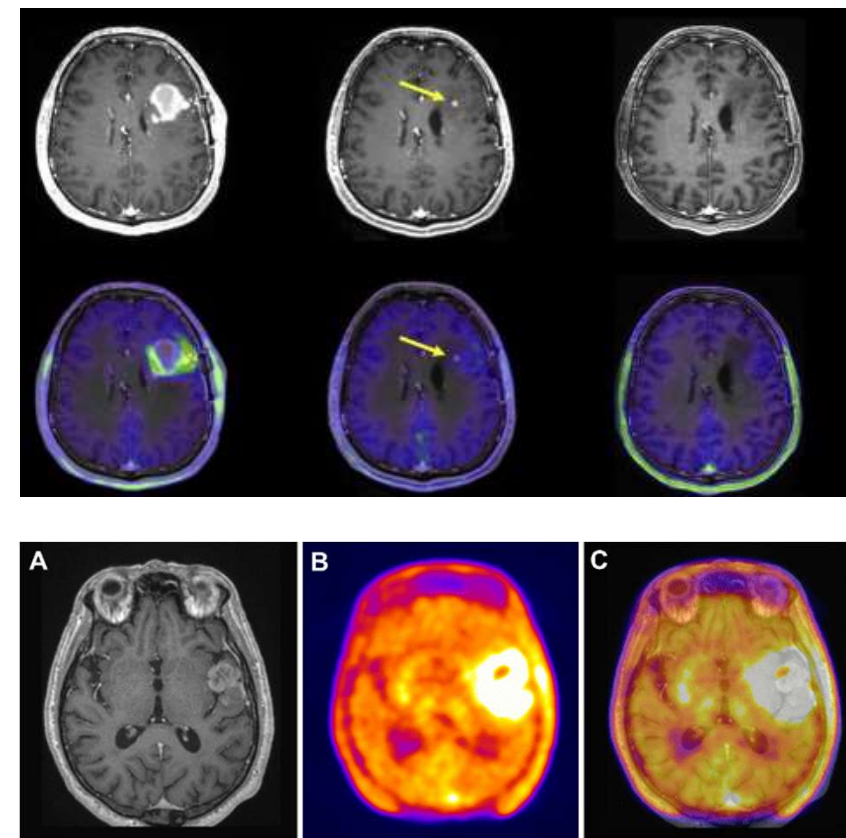
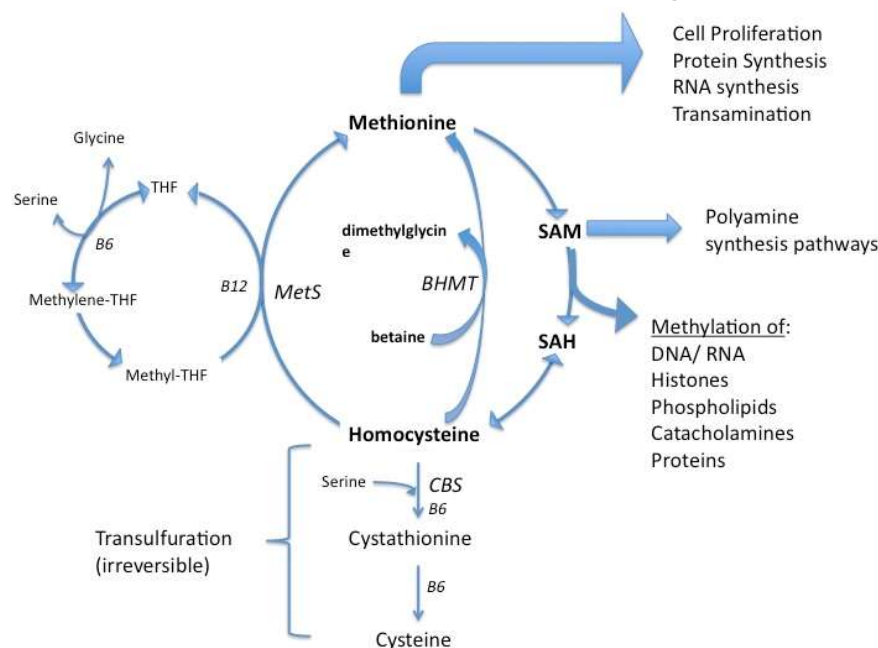


Molecular imaging with PET in radiotherapy

Change of protein and amino acid metabolism

[¹⁸F]FET
[¹¹C]Methionin
[¹⁸F]FABC

- amino acid metabolism
- amino acid metabolism
- amino acid transport



[¹¹C]MET

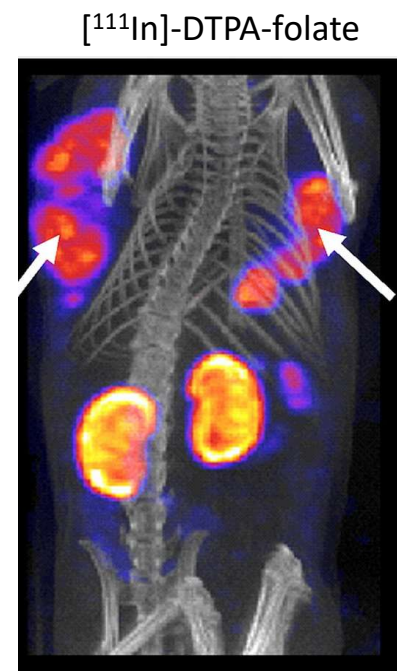
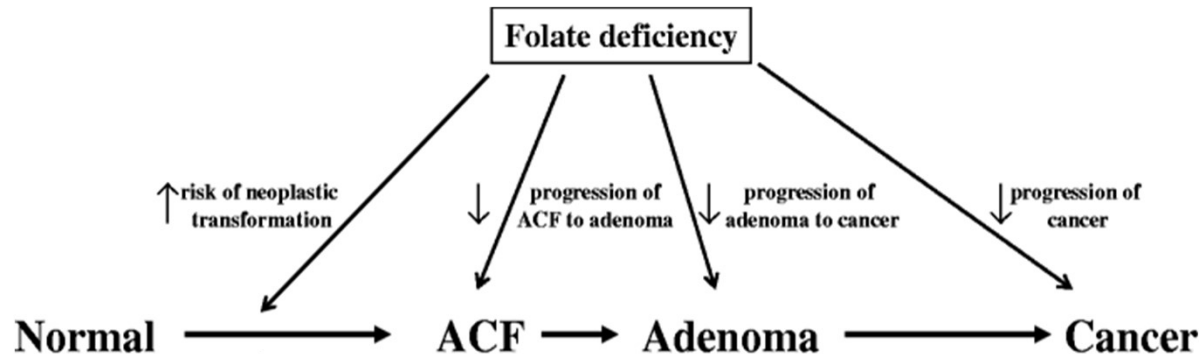
[¹⁸F]FET



Molecular imaging with PET in radiotherapy

Change of protein and amino acid metabolism

[¹⁸F]MTHF → folic acid metabolism



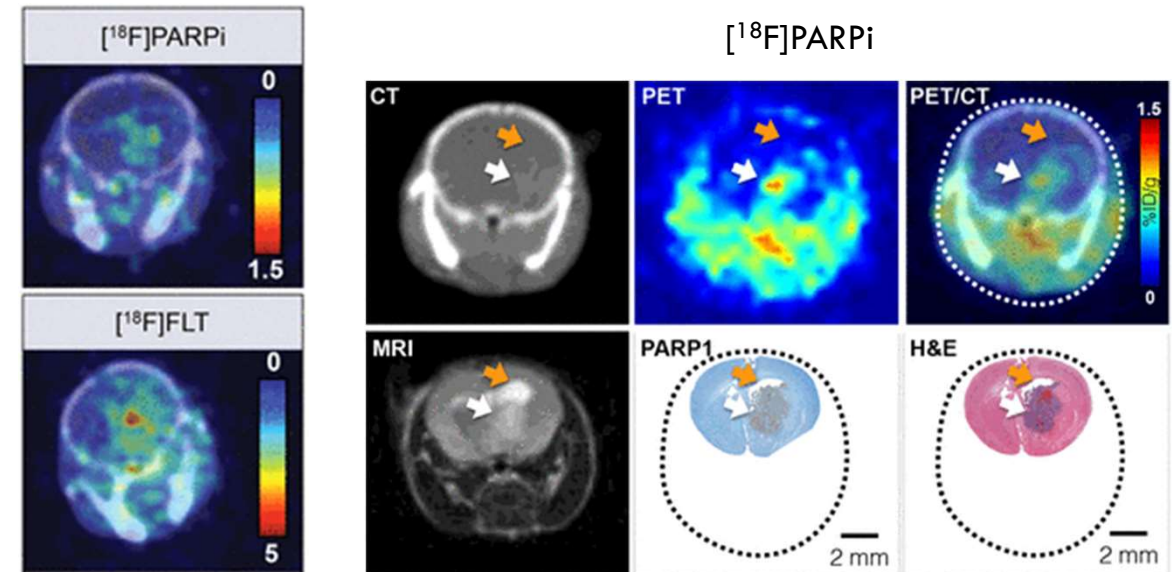
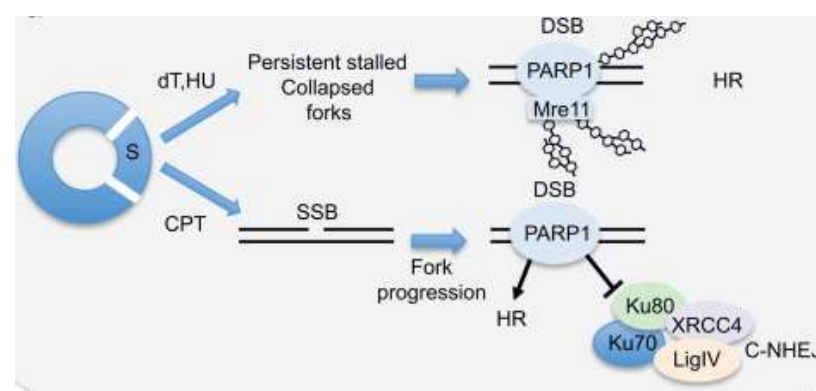


Molecular imaging with PET in radiotherapy

DNA modifications and adoptions

[¹⁸F]FLT → DNA synthesis

[¹⁸F]PARPi → Poly ADP Ribose Polymerase PARP1



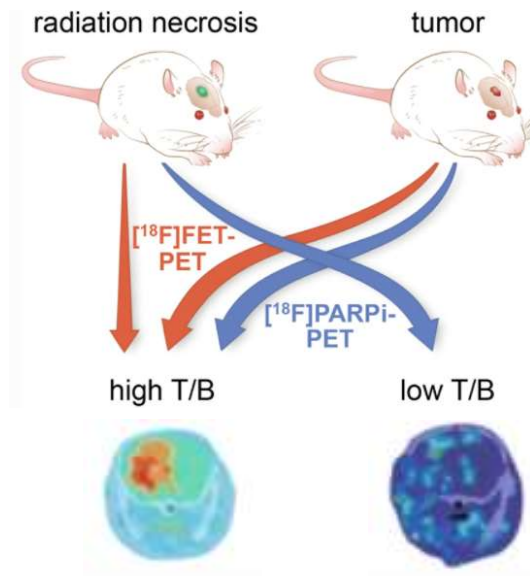
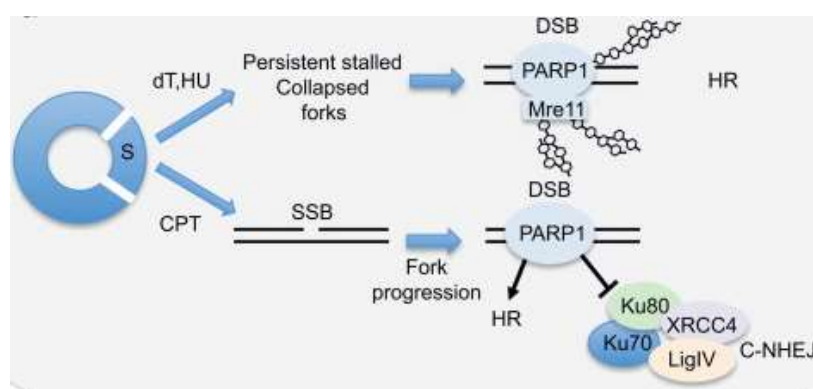


Molecular imaging with PET in radiotherapy

DNA modifications and adoptions

[¹⁸F]FLT → DNA synthesis

[¹⁸F]PARPi → Poly ADP Ribose Polymerase PARP1

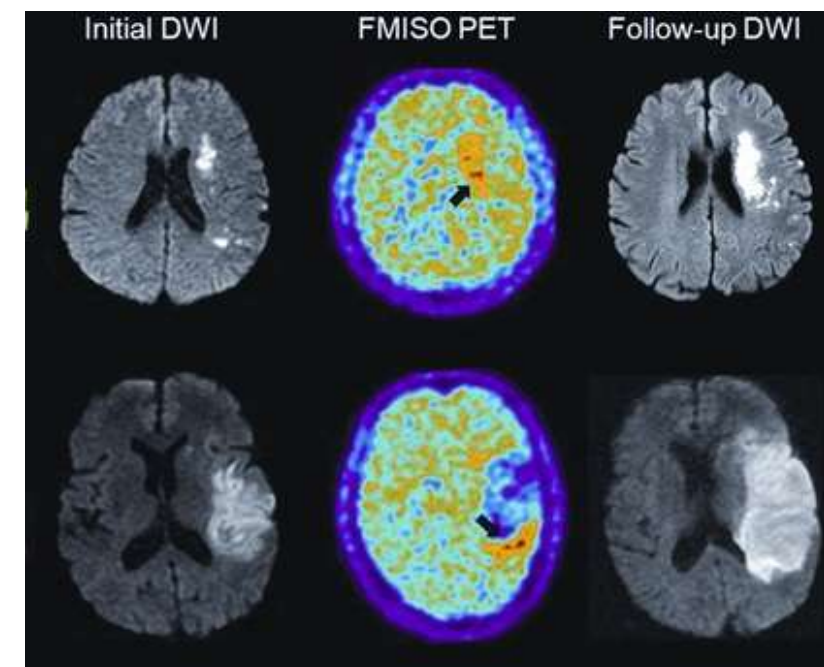
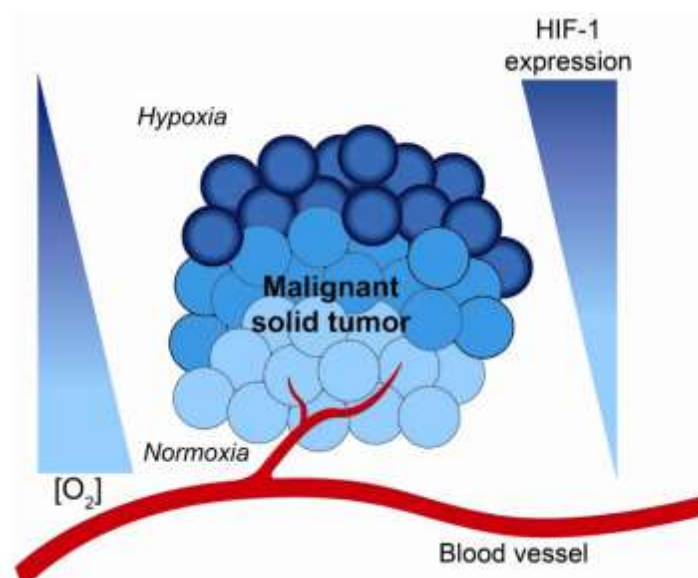




Molecular imaging with PET in radiotherapy

Change of oxygen partial pressure and apoptosis

- | | |
|--------------------------------|-------------------|
| [¹⁸ F]FMISO | → hypoxia |
| [¹⁸ F]FAZA | → hypoxia |
| [⁸⁹ Zr]ranibizumab | → neoangiogenesis |
| [¹⁸ F]Annexin V | → Caspase 9 |
| [¹⁸ F]ML-10 | → apoptosis |

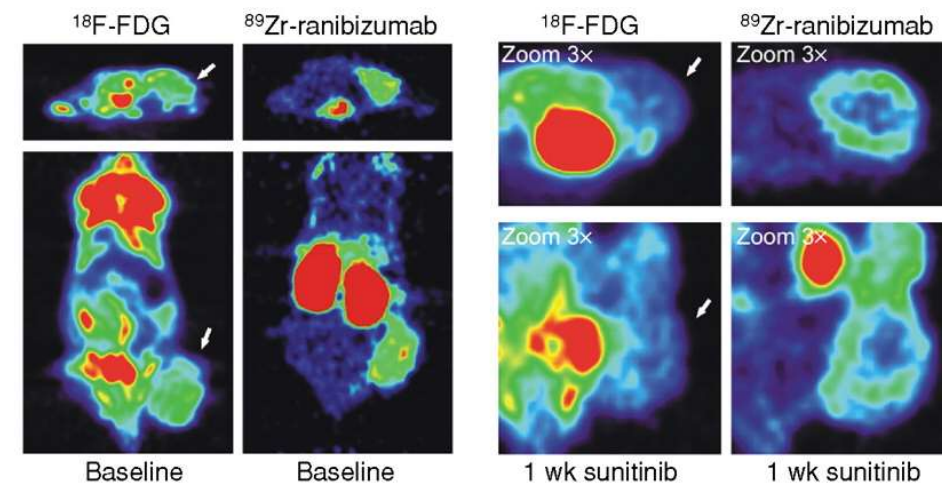
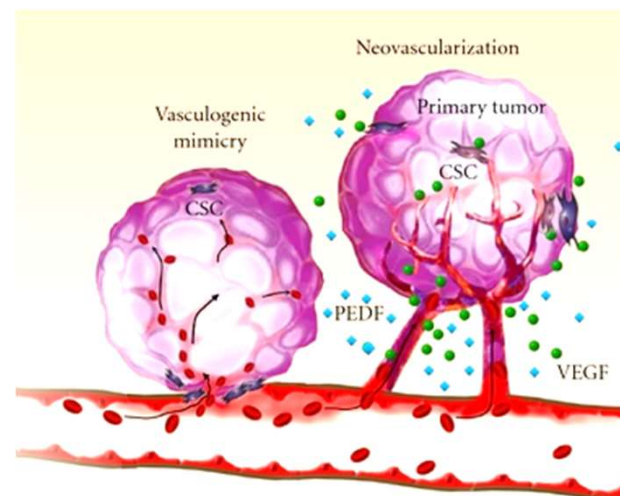




Molecular imaging with PET in radiotherapy

Change of oxygen partial pressure and apoptosis

- [¹⁸F]FMISO → hypoxia
- [¹⁸F]FAZA → hypoxia
- [⁸⁹Zr]ranibizumab → neoangiogenesis
- [¹⁸F]Annexin V → Caspase 9
- [¹⁸F]ML-10 → apoptosis

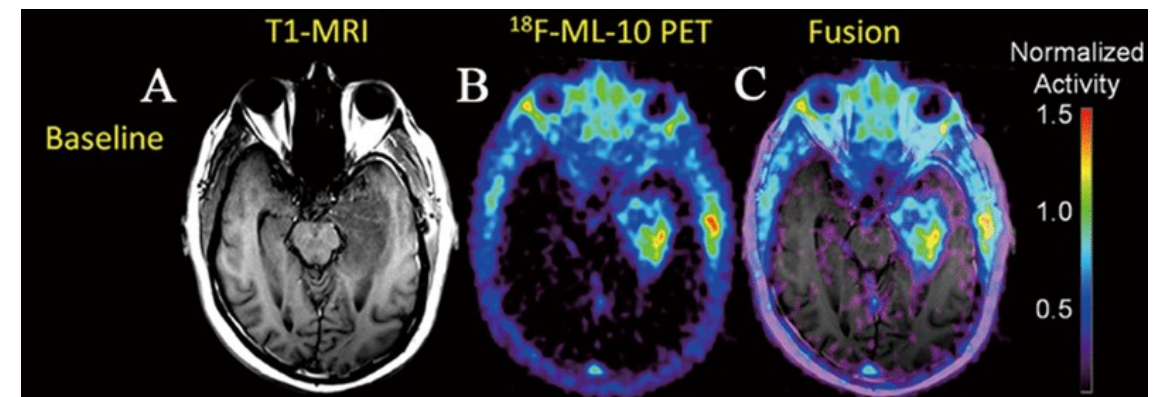
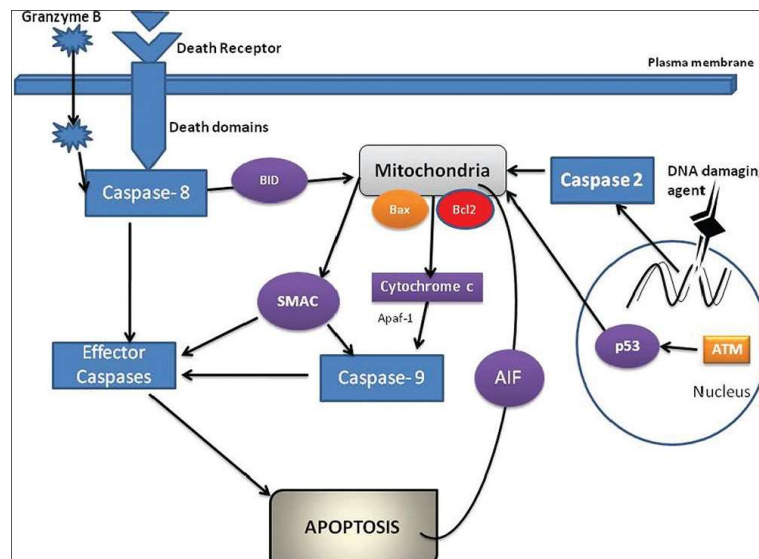




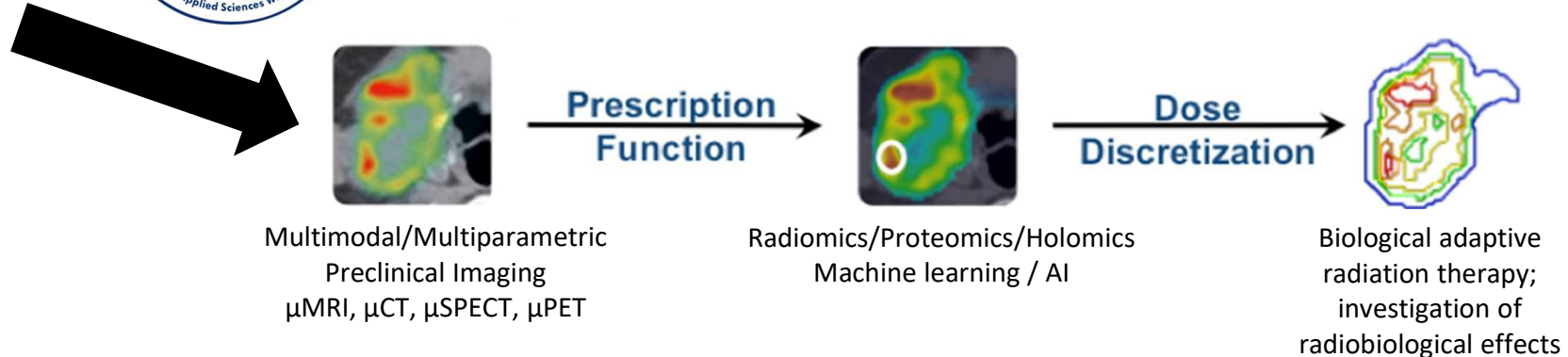
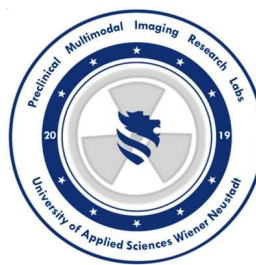
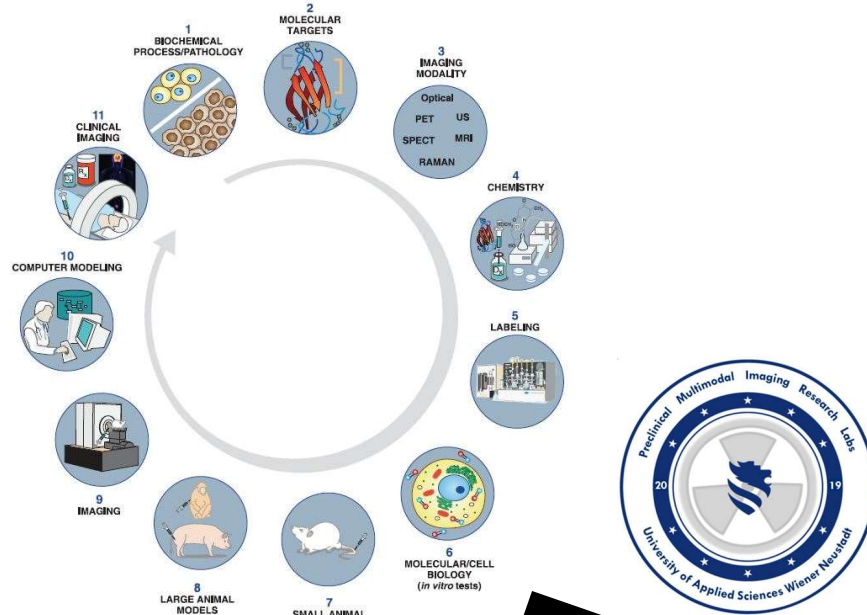
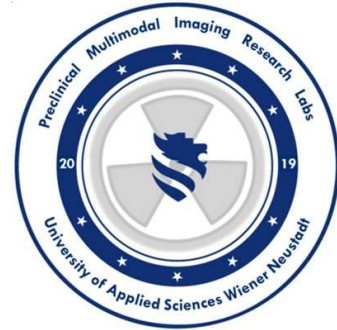
Molecular imaging with PET in radiotherapy

Change of oxygen partial pressure and apoptosis

- [¹⁸F]FMISO → hypoxia
- [¹⁸F]FAZA → hypoxia
- [⁸⁹Zr]ranibizumab → neoangiogenesis
- [¹⁸F]Annexin V → Caspase 9
- [¹⁸F]ML-10 → apoptosis



Biomarkerentwicklung und Imaging Methodenvalidierung





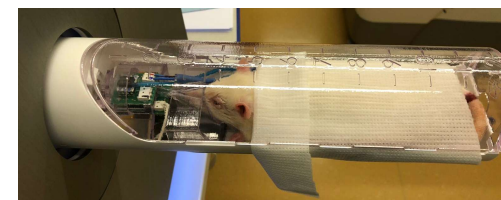
Kompetenzzentrum für Präklinische Bildgebung und Medizintechnik

FACHHOCHSCHULE
WIENER NEUSTADT
Austrian Network for Higher Education



Technical integration and establishment of the imaging infrastructure

2017-2021



In-vivo experiments

Starting January 2023

Development of robust acquisition and reconstruction protocols for the different imaging modalities

2018-2023

- Ex-vivo system validation
- Performance analysis
- Irradiation workflow development
- Small animal research set-up



Data analysis and image post-processing

Starting Q3 2023

- Method verification in-vitro/in-vivo/ex-vivo
- Fine tuning of imaging protocols
- Treatment monitoring



Development of novel imaging methods and analysis tool

Starting 2023

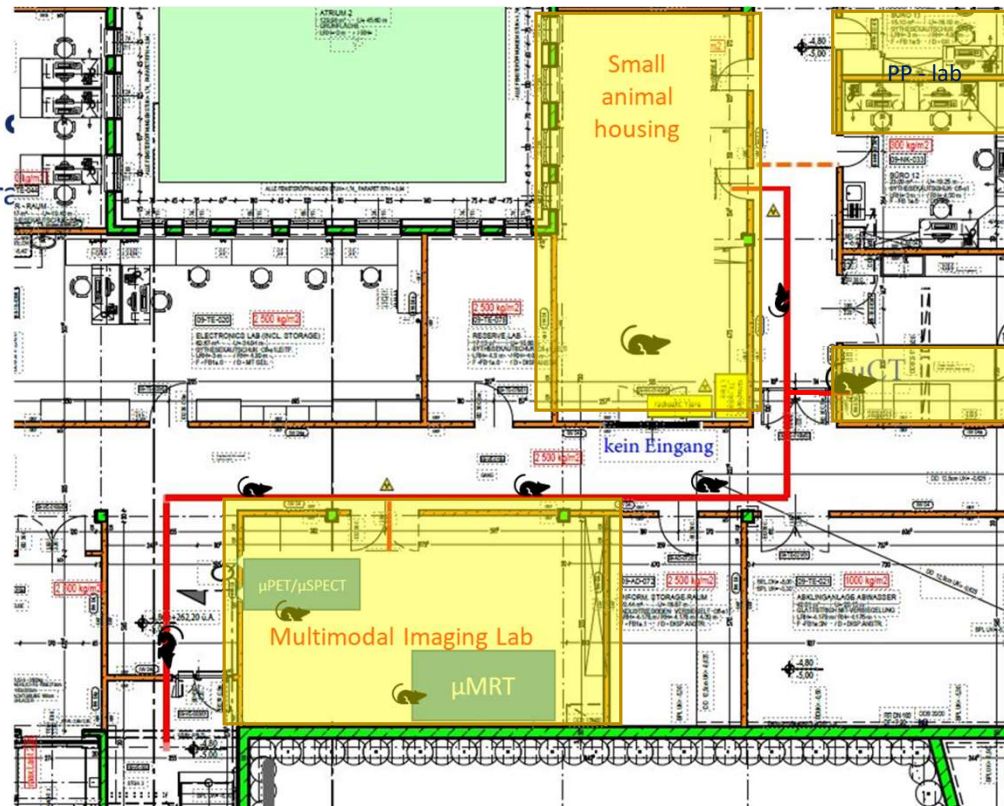


Kompetenzzentrum für Präklinische Bildgebung und Medizintechnik

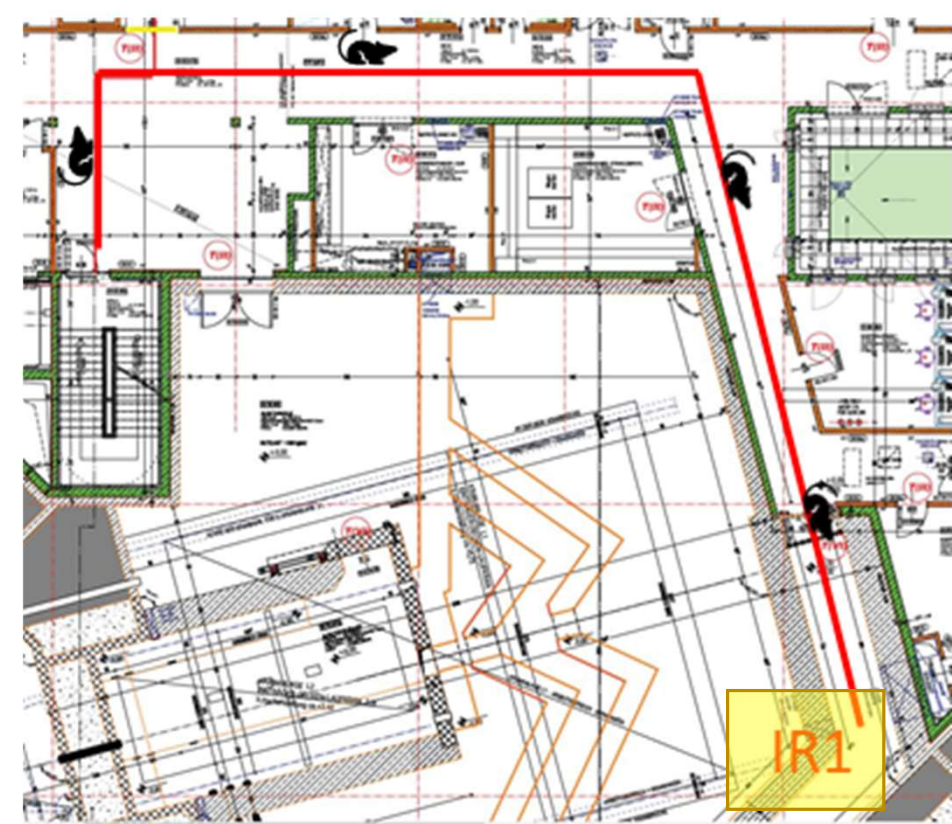
Imaging Labs der FHWN am Standort MedAustron

FACHHOCHSCHULE
WIENER NEUSTADT
Austrian Network for Higher Education

Untergeschoß



Erdgeschoß





Kompetenzzentrum für Präklinische Bildgebung und Medizintechnik

FACHHOCHSCHULE
WIENER NEUSTADT
Austrian Network for Higher Education

Animal housing unit



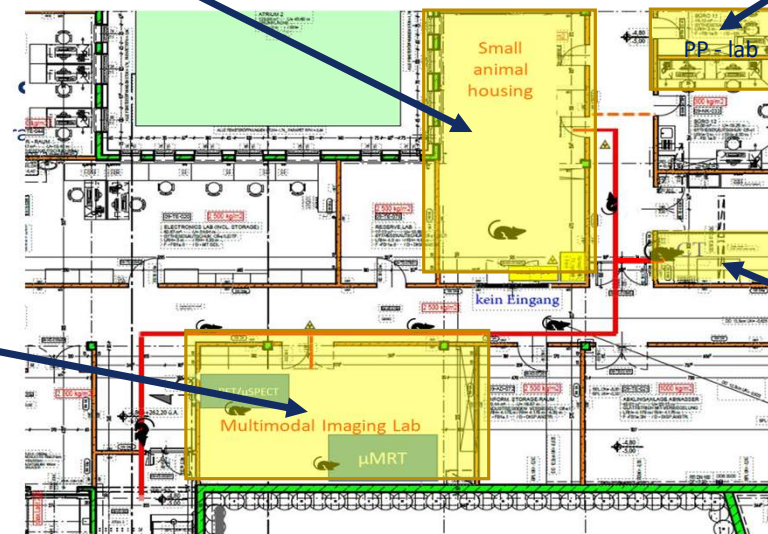
Data post-processing lab



Multimodal imaging lab



micro-CT lab

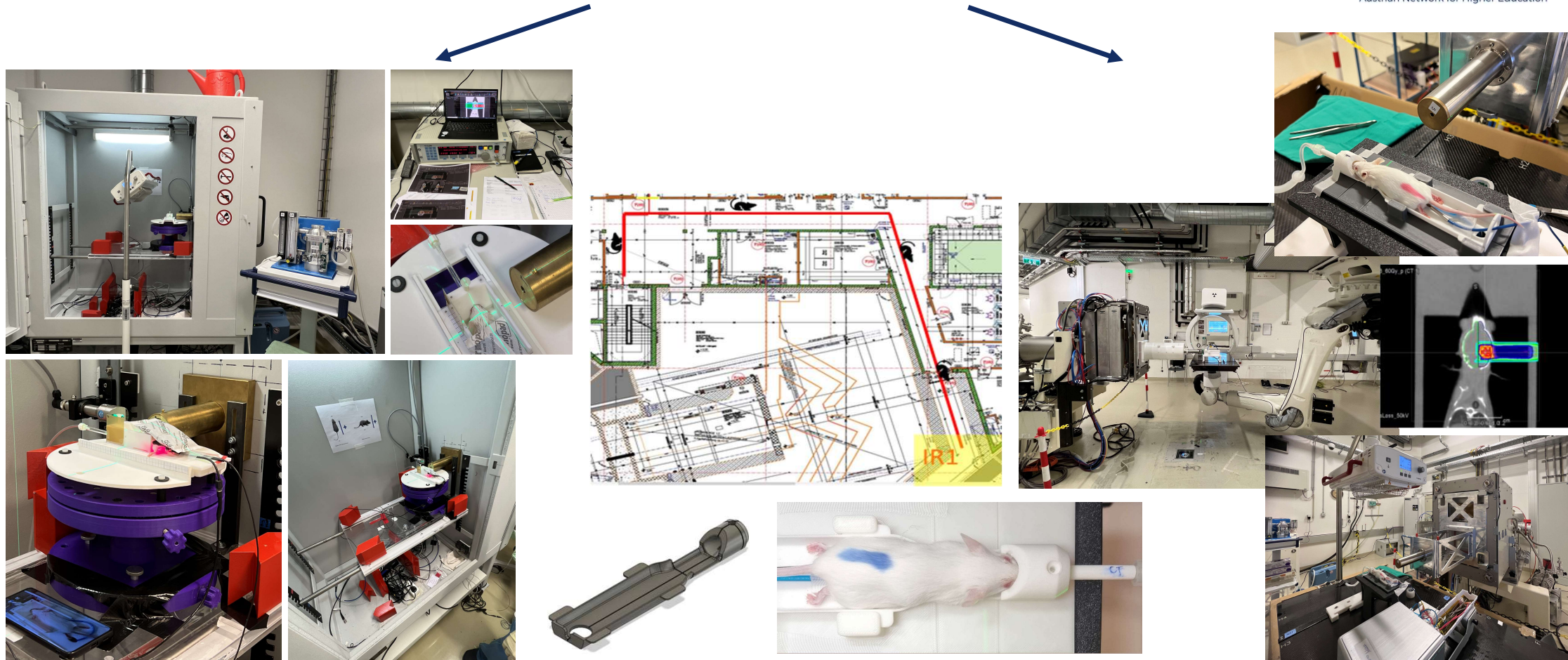




Kompetenzzentrum für Präklinische Bildgebung und Medizintechnik

FACHHOCHSCHULE
WIENER NEUSTADT
Austrian Network for Higher Education

Photon beam irradiation set-up vs. ion beam irradiation set-up

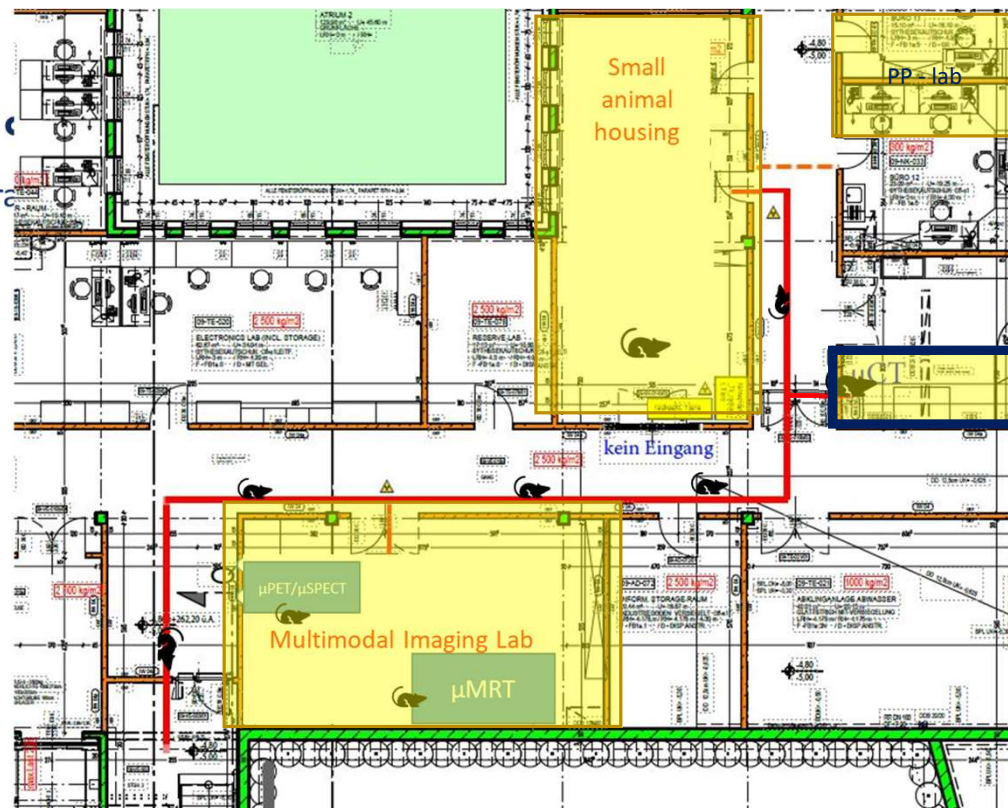




Kompetenzzentrum für Präklinische Bildgebung und Medizintechnik

FACHHOCHSCHULE
WIENER NEUSTADT
Austrian Network for Higher Education

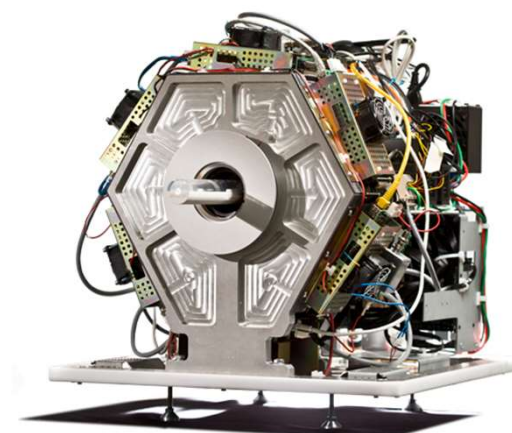
Basement





Kompetenzzentrum für Präklinische Bildgebung und Medizintechnik

FACHHOCHSCHULE
WIENER NEUSTADT
Austrian Network for Higher Education





Kompetenzzentrum für Präklinische Bildgebung und Medizintechnik

FACHHOCHSCHULE
WIENER NEUSTADT
Austrian Network for Higher Education

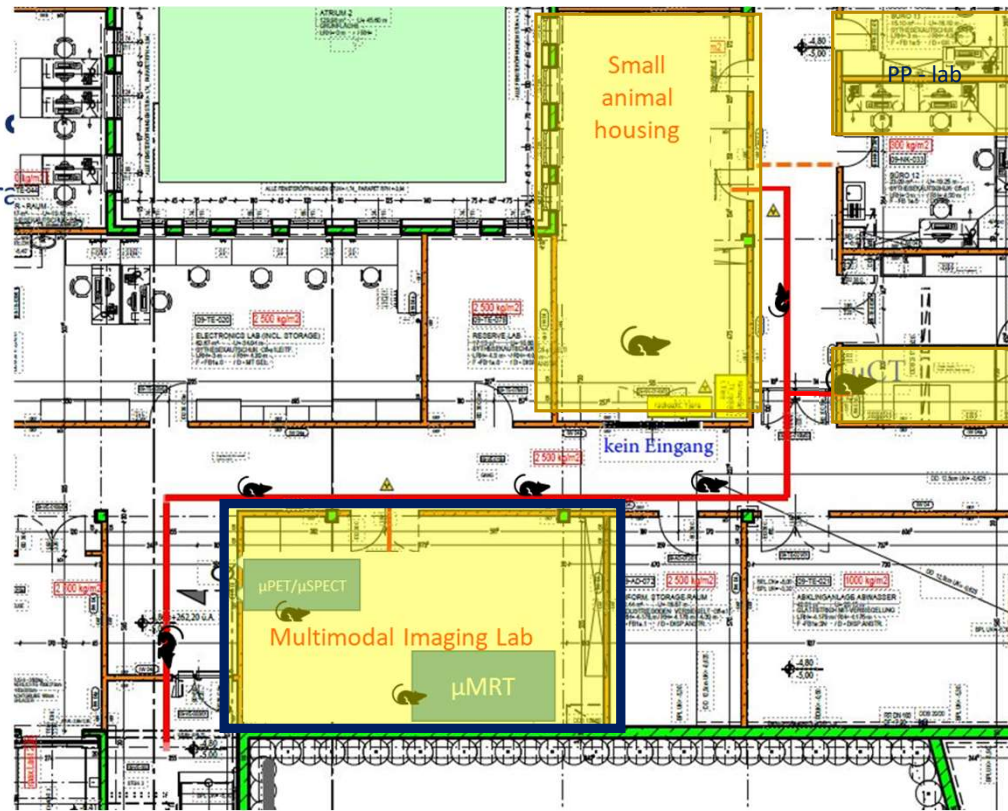




Kompetenzzentrum für Präklinische Bildgebung und Medizintechnik

FACHHOCHSCHULE
WIENER NEUSTADT
Austrian Network for Higher Education

Basement





Kompetenzzentrum für Präklinische Bildgebung und Medizintechnik

FACHHOCHSCHULE
WIENER NEUSTADT
Austrian Network for Higher Education

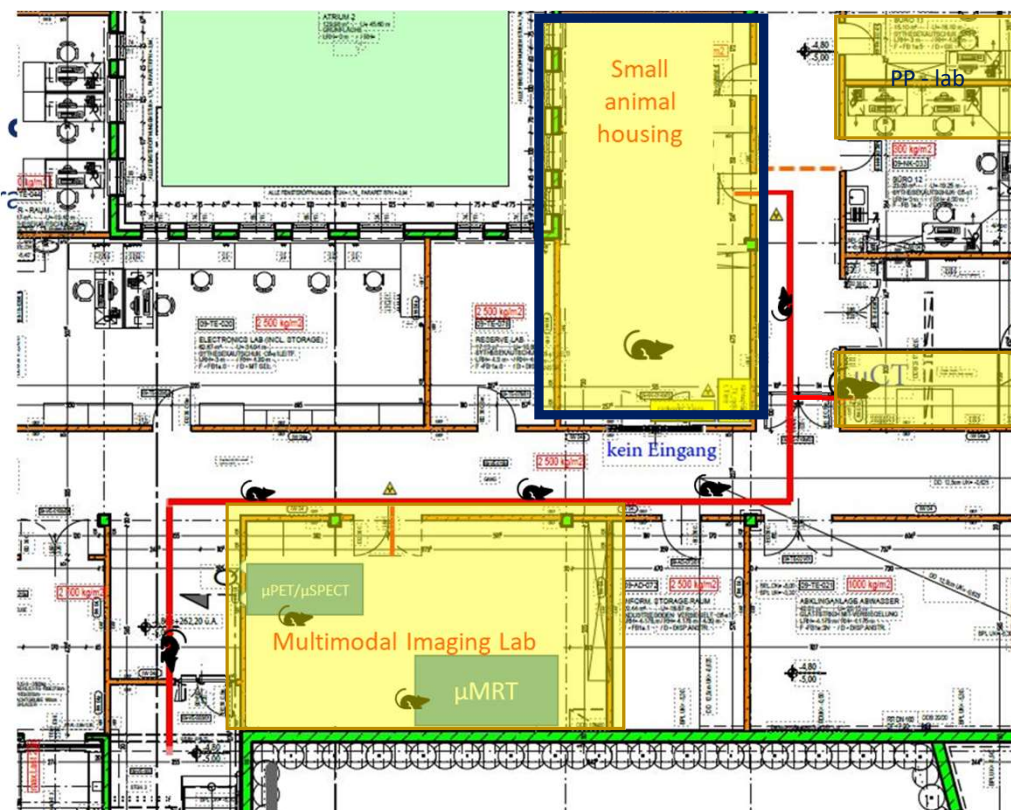




Kompetenzzentrum für Präklinische Bildgebung und Medizintechnik

**FACHHOCHSCHULE
WIENER NEUSTADT**
Austrian Network for Higher Education

Basement





Kompetenzzentrum für Präklinische Bildgebung und Medizintechnik

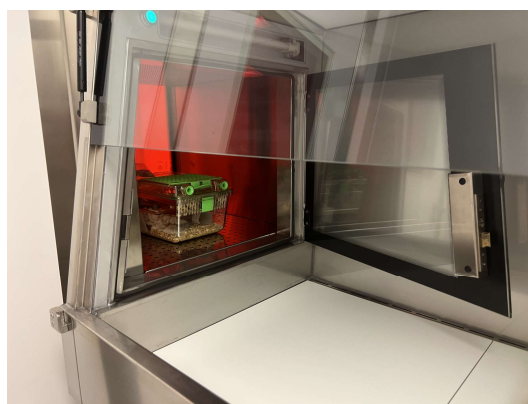
FACHHOCHSCHULE
WIENER NEUSTADT
Austrian Network for Higher Education





Kompetenzzentrum für Präklinische Bildgebung und Medizintechnik

FACHHOCHSCHULE
WIENER NEUSTADT
Austrian Network for Higher Education



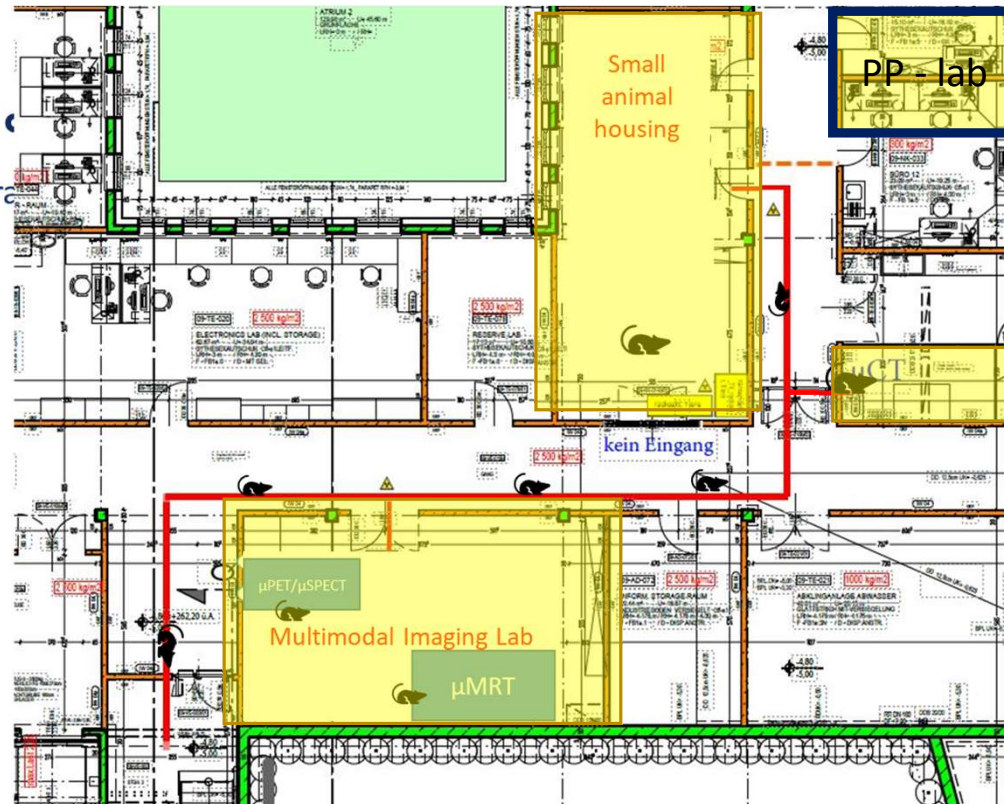


Kompetenzzentrum für Präklinische Bildgebung und Medizintechnik

Competence Center of Preclinical Imaging and Biomedical Engineering / MedAustron

FACHHOCHSCHULE
WIENER NEUSTADT
Austrian Network for Higher Education

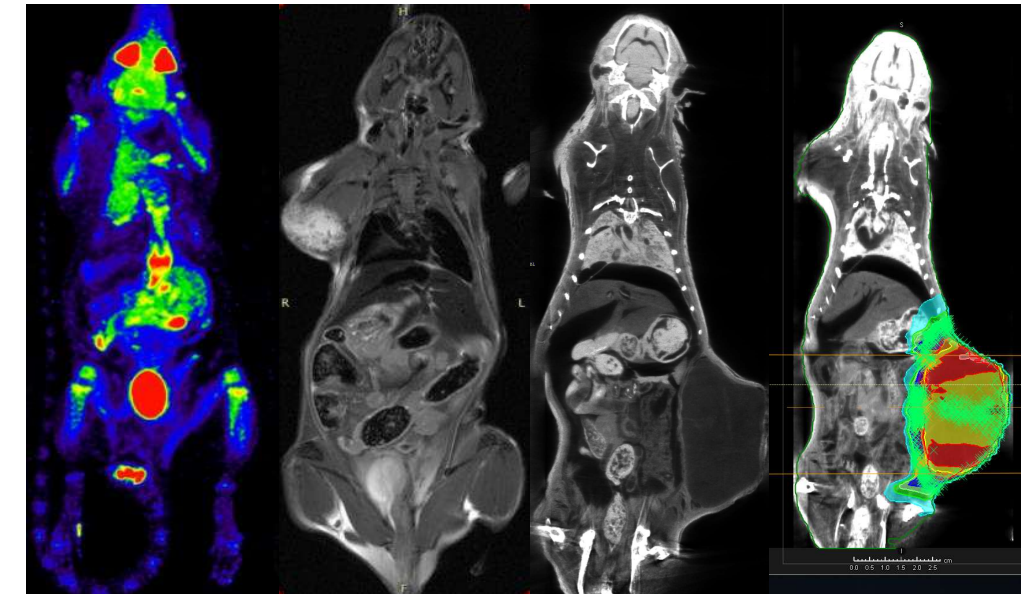
Basement





Kompetenzzentrum für Präklinische Bildgebung und Medizintechnik

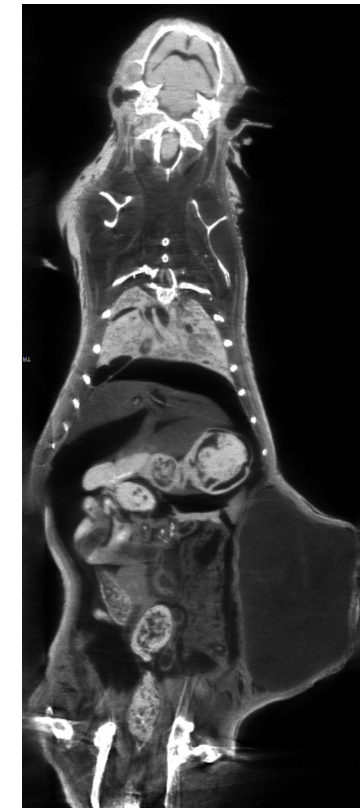
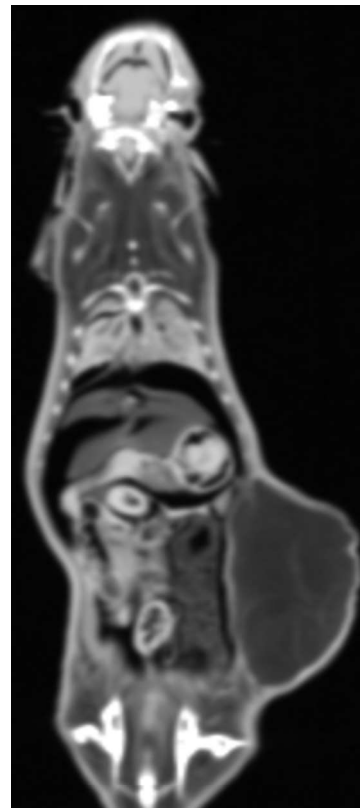
FACHHOCHSCHULE
WIENER NEUSTADT
Austrian Network for Higher Education





Beispiel – präklinische multimodale Bildgebung

Klinisches CT versus mikroCT

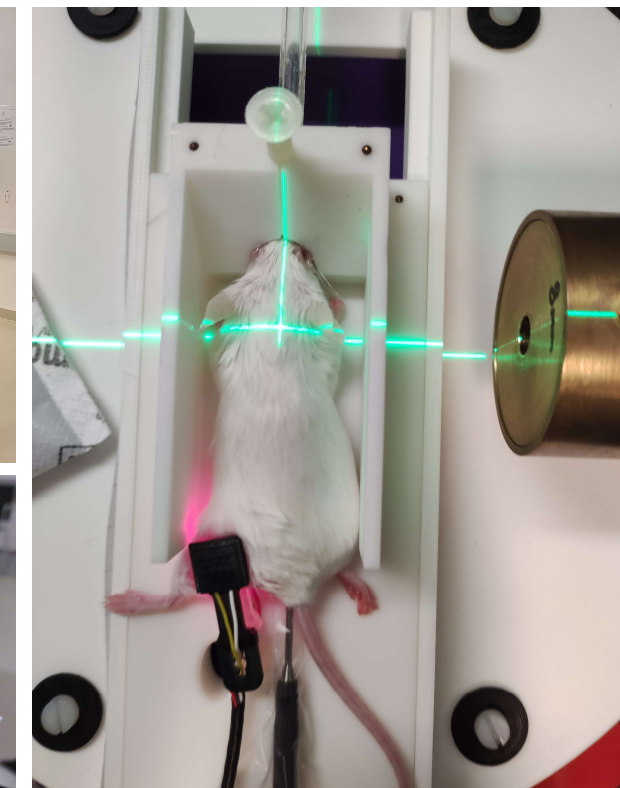
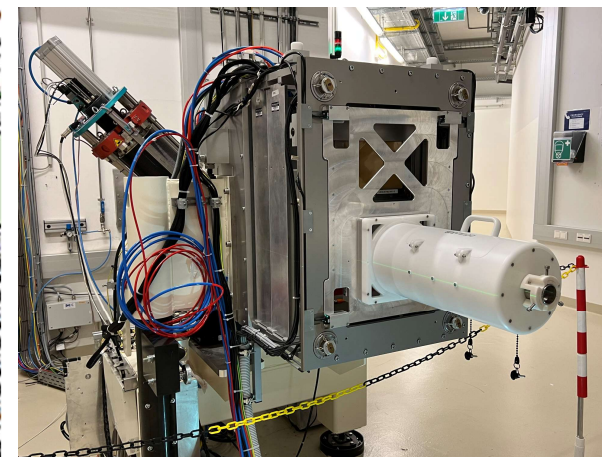
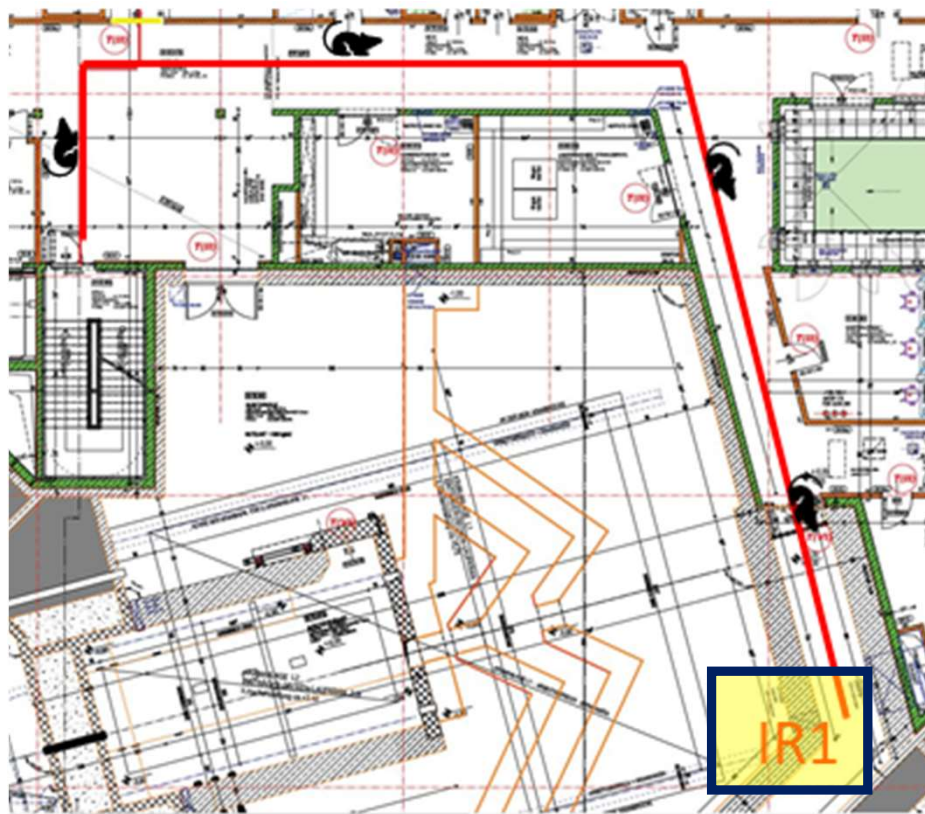




Kompetenzzentrum für Präklinische Bildgebung und Medizintechnik

FACHHOCHSCHULE
WIENER NEUSTADT
Austrian Network for Higher Education

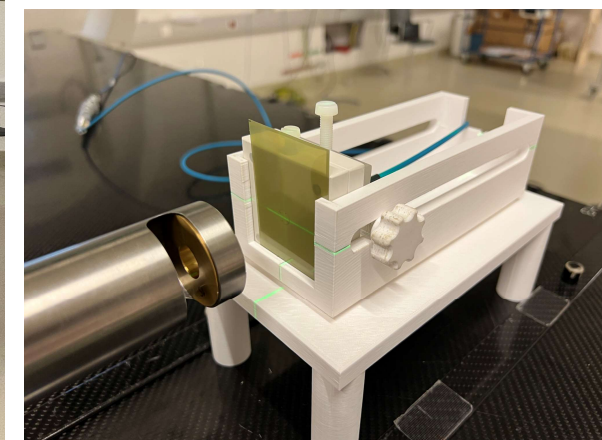
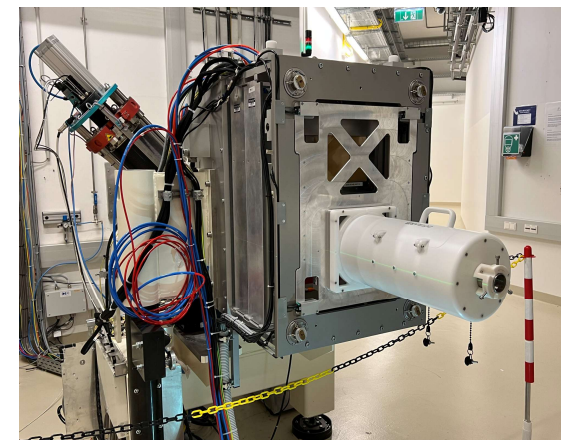
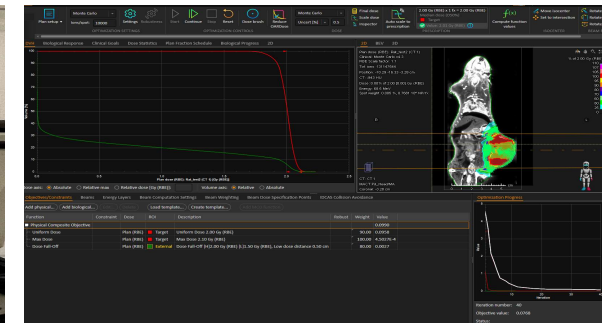
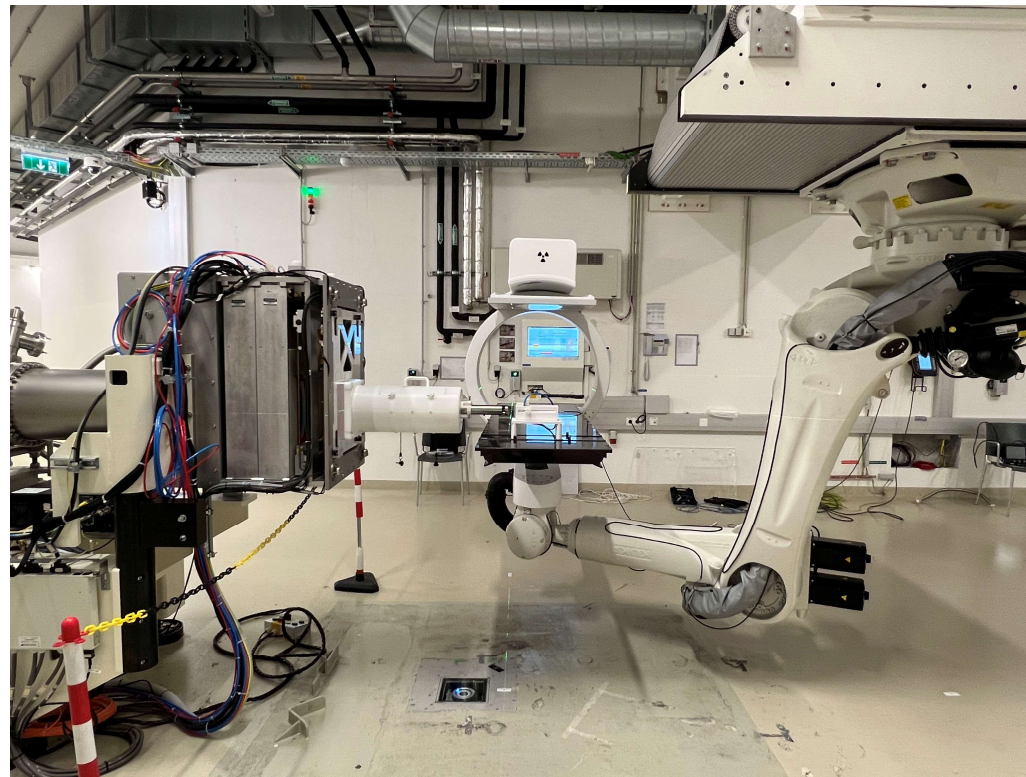
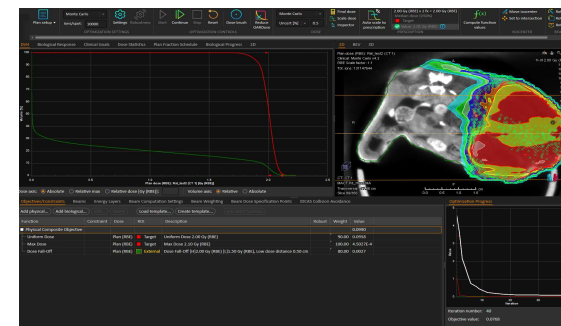
Groundfloor





Kompetenzzentrum für Präklinische Bildgebung und Medizintechnik

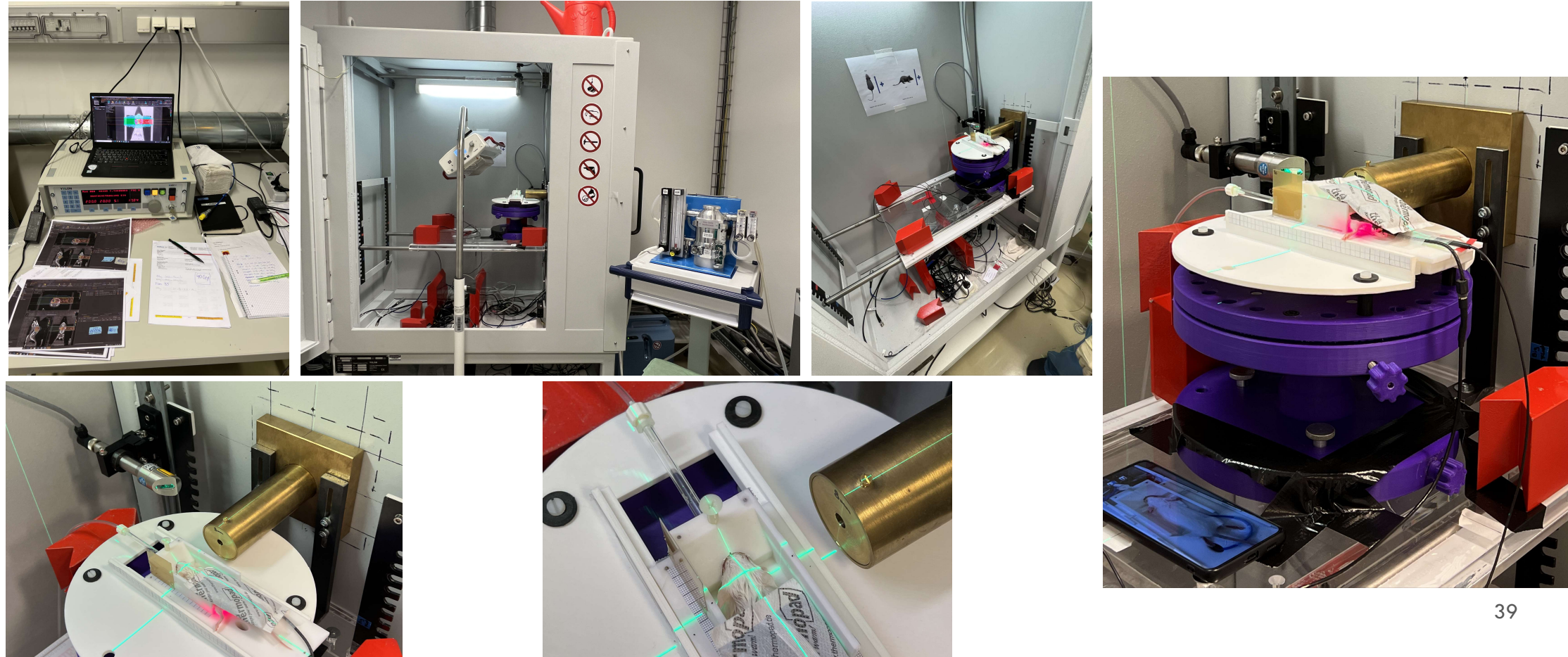
FACHHOCHSCHULE
WIENER NEUSTADT
Austrian Network for Higher Education





Kompetenzzentrum für Präklinische Bildgebung und Medizintechnik

FACHHOCHSCHULE
WIENER NEUSTADT
Austrian Network for Higher Education

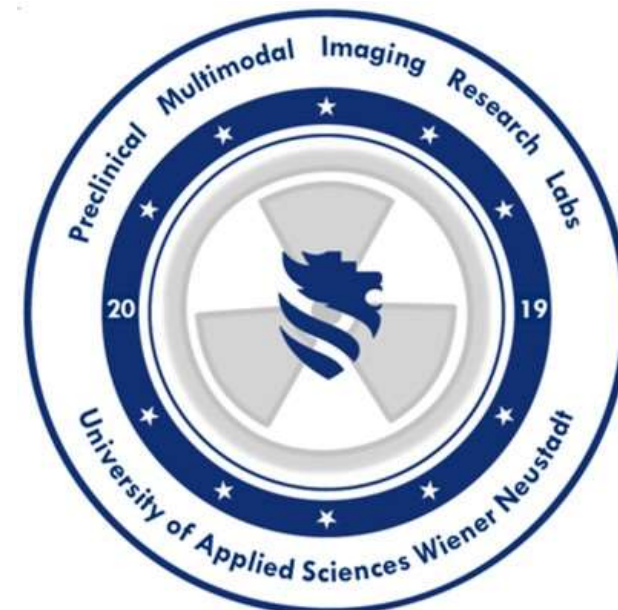




**FACHHOCHSCHULE
WIENER NEUSTADT**

Austrian Network for Higher Education

Current research activities (Selection)

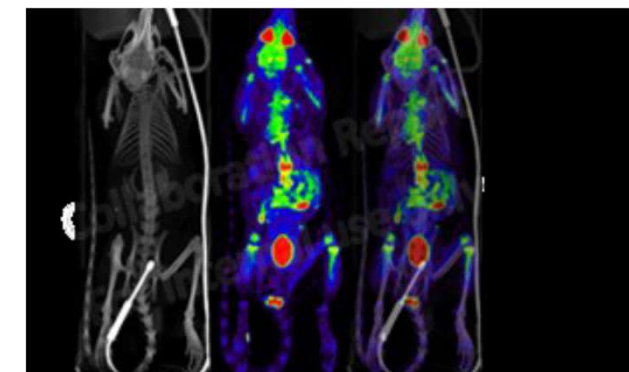
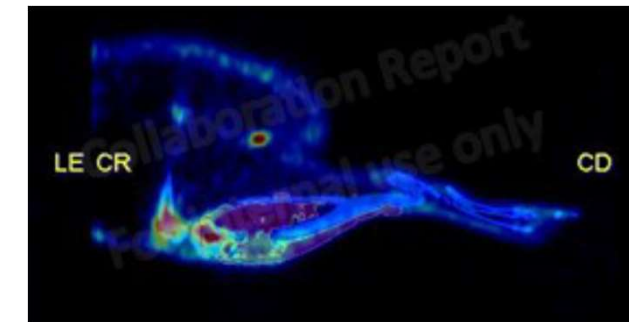
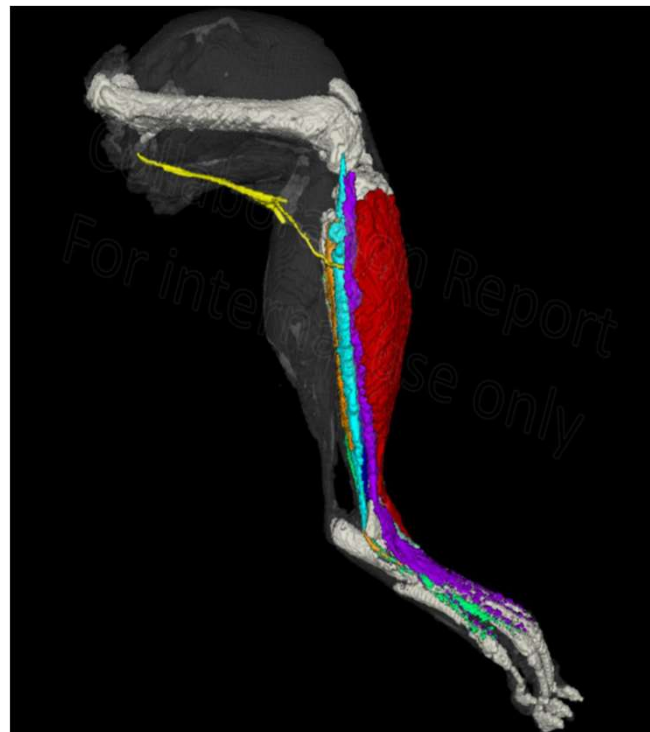




Beispiel – präklinische multimodale Bildgebung

Kooperationsprojekt – periphere Nervenregeneration

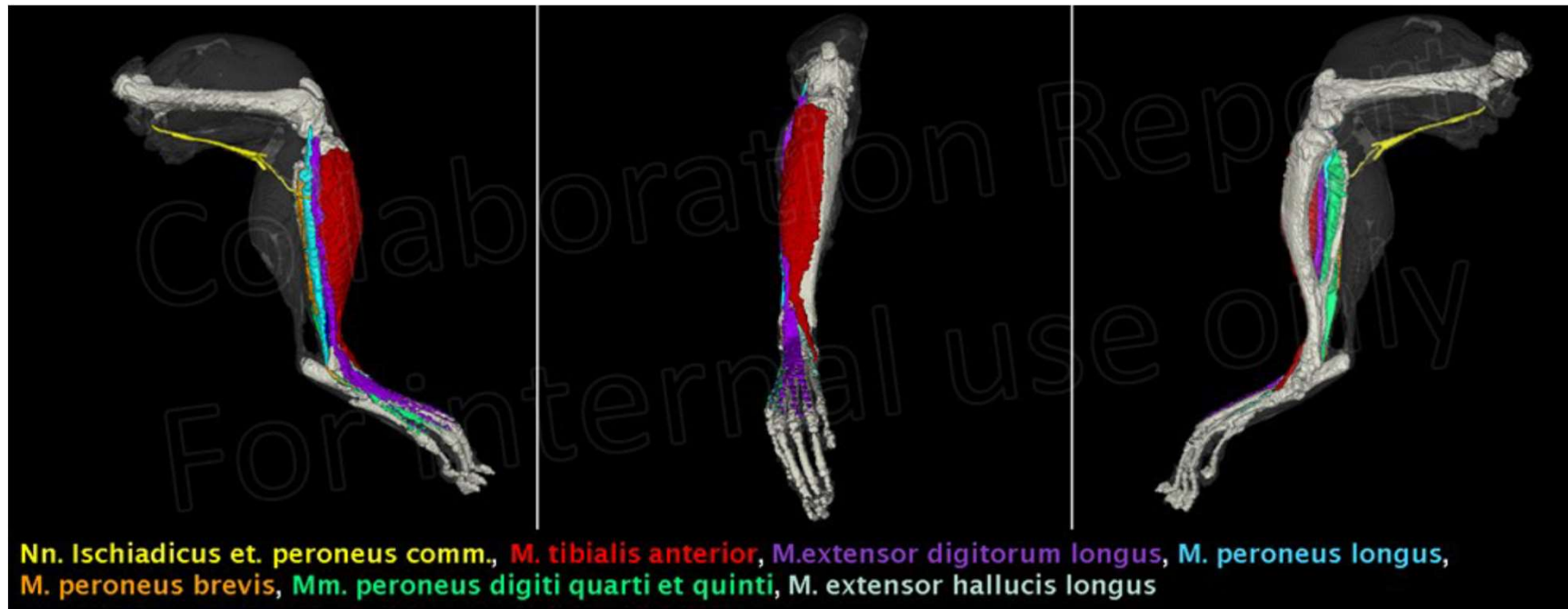
FACHHOCHSCHULE
WIENER NEUSTADT
Austrian Network for Higher Education





Beispiel – präklinische multimodale Bildgebung

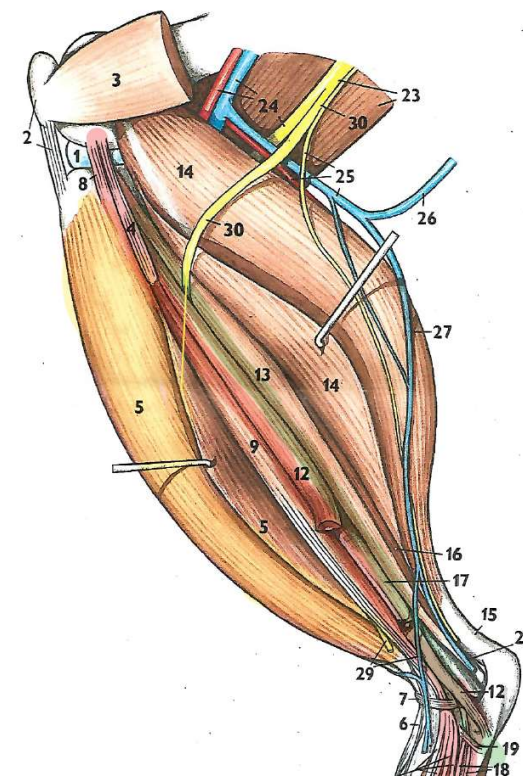
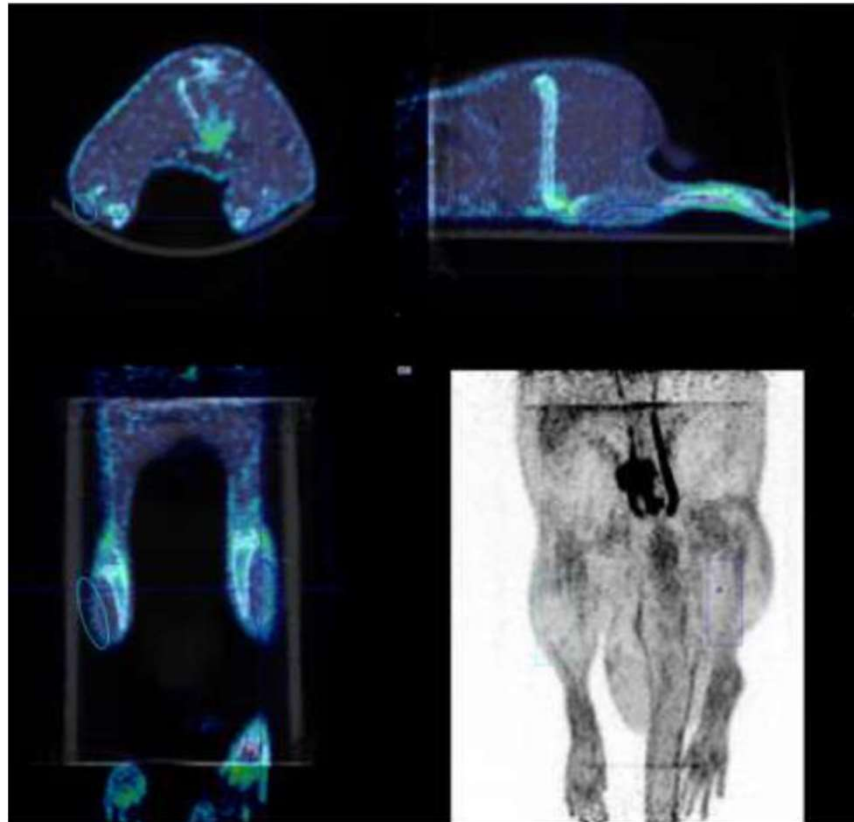
Kooperationsprojekt – periphere Nervenregeneration





Beispiel – präklinische multimodale Bildgebung

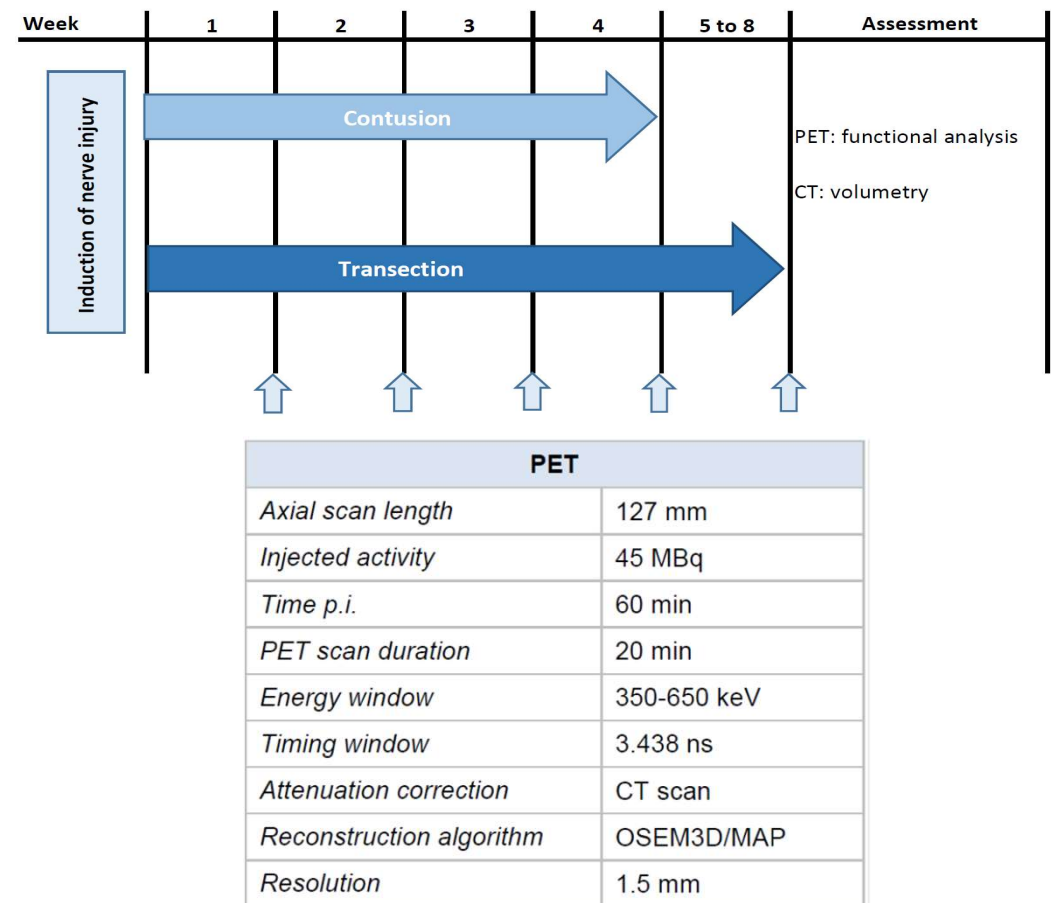
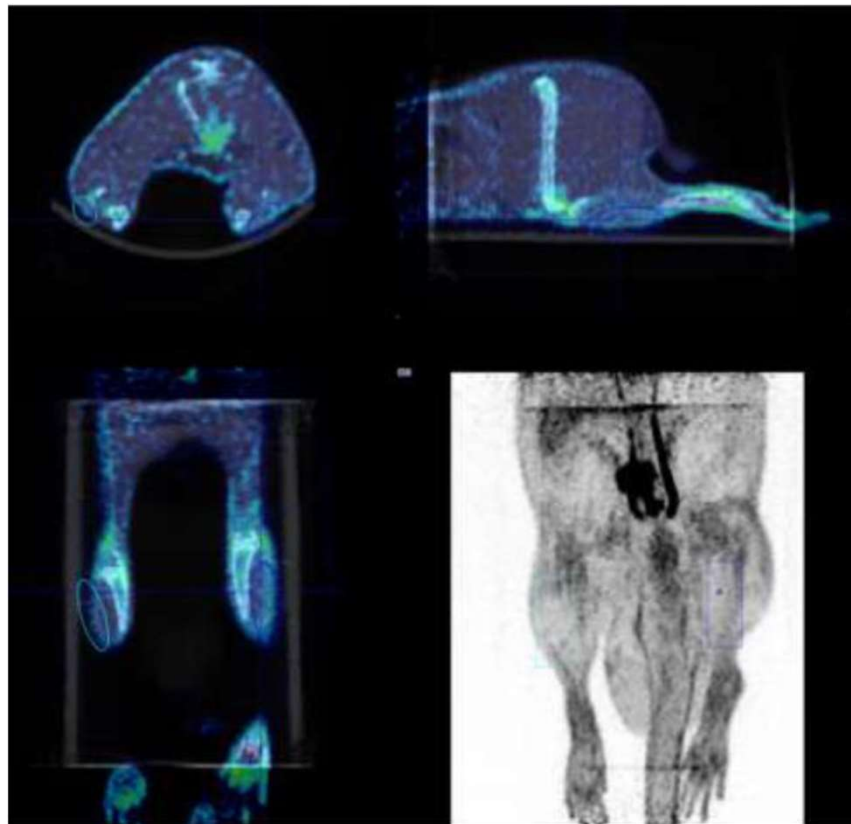
Kooperationsprojekt – periphere Nervenregeneration





Beispiel – präklinische multimodale Bildgebung

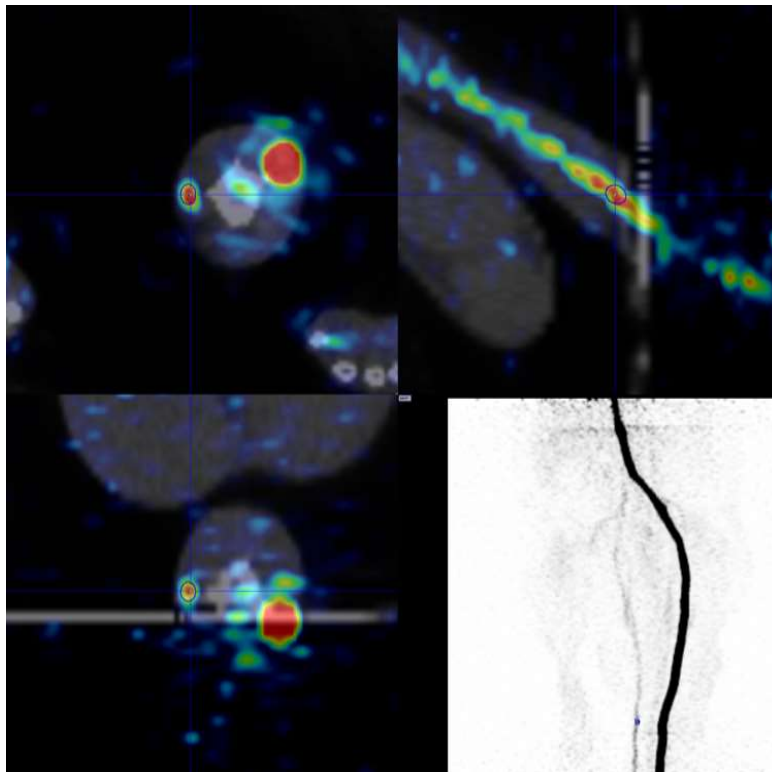
Kooperationsprojekt – periphere Nervenregeneration





Beispiel – präklinische multimodale Bildgebung

Kooperationsprojekt – periphere Nervenregeneration

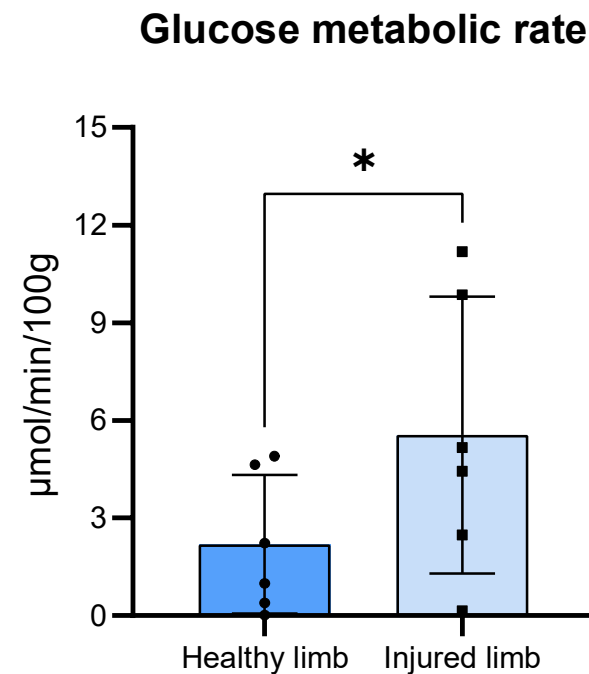
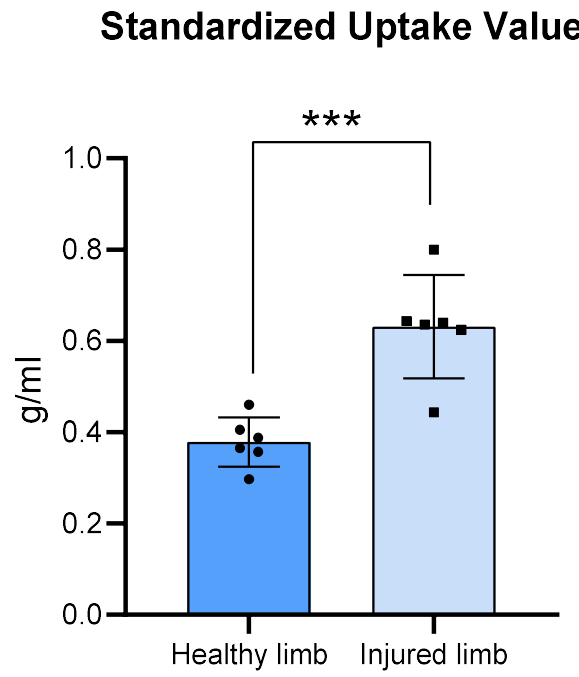


Parameter	Current value	% SE	Conf.low	Conf.high	Unit
Lumped Constant	0.89	--	--	--	1/1
Plasma Gluc.	5.0	--	--	--	mmol/l
vB	0.010178	7.57	0.00846	0.0119	1/1
K1	0.051644	3.33	0.04782	0.05547	ml/ccm/min
K2	0.186626	4.66	0.16724	0.20601	1/min
K3	0.002694	21.91	0.00138	0.00401	1/min
k4	0.0	--	--	--	1/min
Flux	7.34949E-4	19.93	4.08596E-4	0.00106	ml/ccm/min
MRGlu.	0.397012	19.93	0.22072	0.5733	µmol/min/100g
Vs	NaN	--	--	--	ml/ccm
Vt	NaN	--	--	--	ml/ccm
Parameter	Current value				
DOF	10.0				
SumSquared	0.870949				
ChiSquare	0.517325				
AIC	-1.493352				
SC	-3.381567				
MSC	5.622161				
R2	0.997958				
Sy.x	0.295118				
Runs test p	0.760237				
AUC	60568.695138				



Beispiel – präklinische multimodale Bildgebung

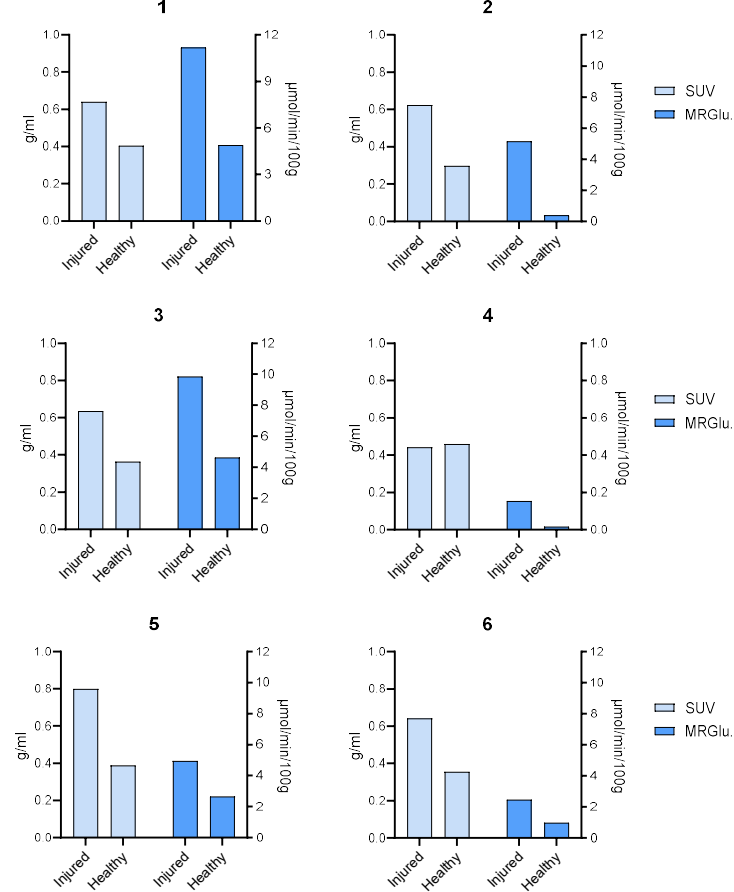
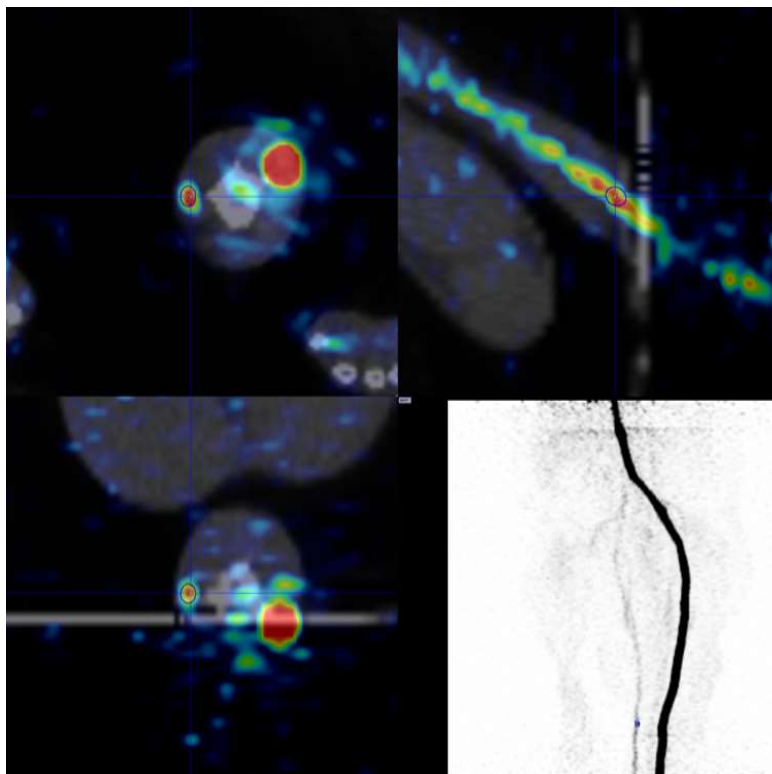
Kooperationsprojekt – periphere Nervenregeneration





Beispiel – präklinische multimodale Bildgebung

Kooperationsprojekt – periphere Nervenregeneration

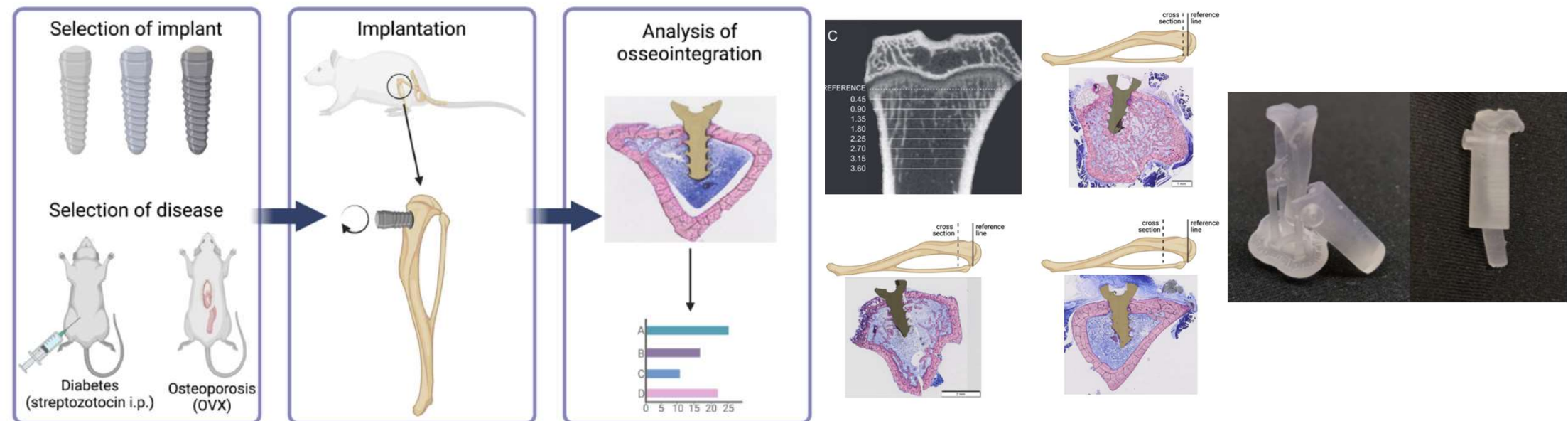




Beispiel – präklinische multimodale Bildgebung

FWF Project

“PRECISE – Development of 3D-printed surgical guides to standardize, refine and reduce animal experiments in osseointegration research“

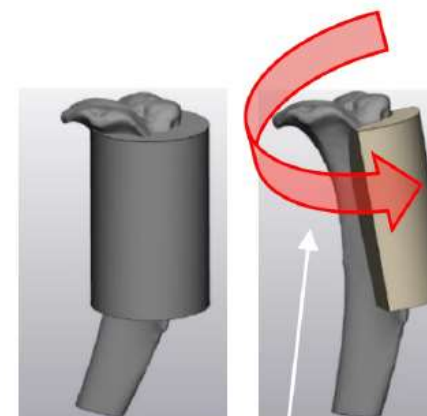
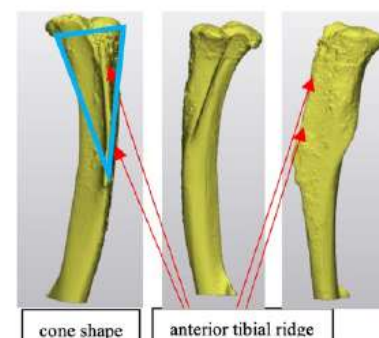
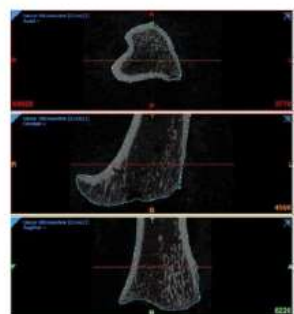
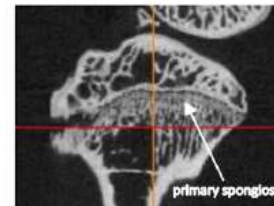
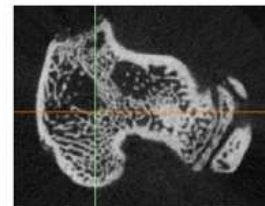
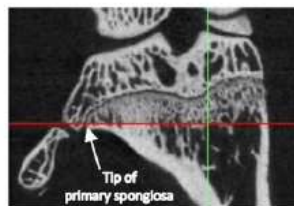




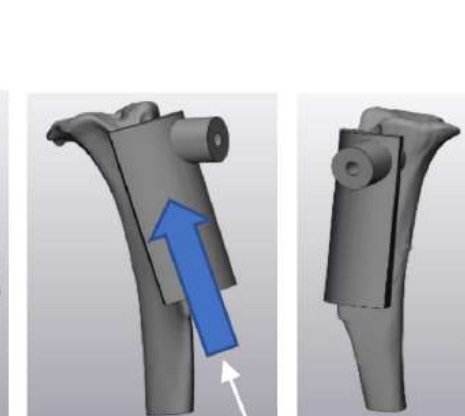
Beispiel – präklinische multimodale Bildgebung

FWF Project

“PRECISE – Development of 3D-printed surgical guides to standardize, refine and reduce animal experiments in osseointegration research“



Rotational stability by anchoring to the anterior ridge

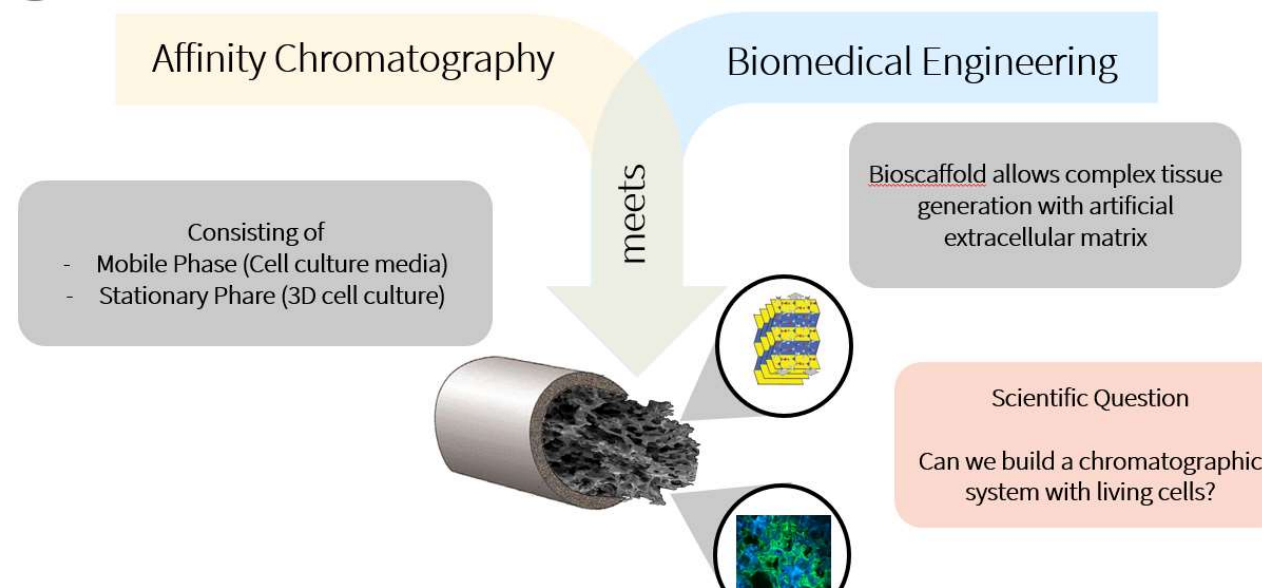


Lock by using the cone shape in upward motion



Beispiel – präklinische multimodale Bildgebung

Spheriograph





Beispiel – präklinische multimodale Bildgebung

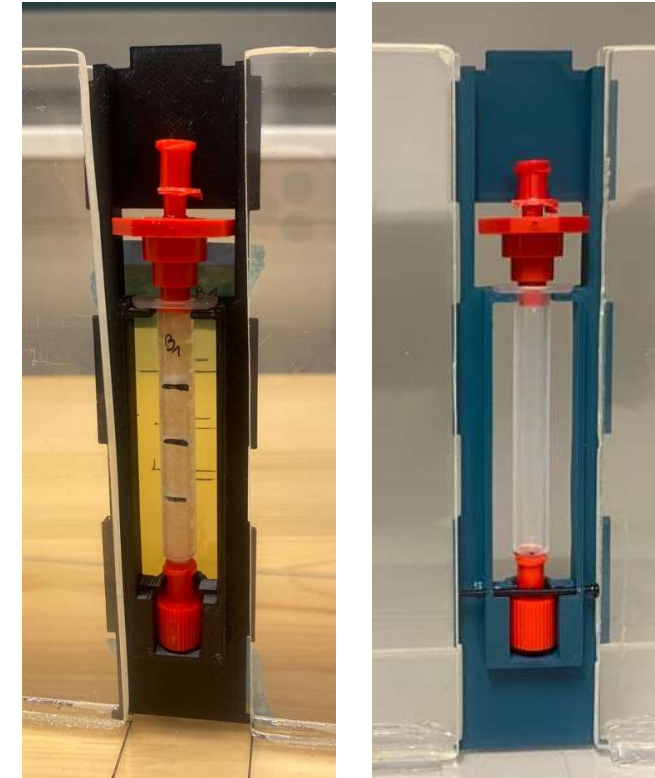
Spheriograph

3 different groups of 3 spheriographs with 4 compartments each (silk incl. Colon Ca cells)

- Group A – Photons
- Group B – Protons
- Group C – Control Group

1 group à 3 spheriographs containing only silk

- Group E





Beispiel – präklinische multimodale Bildgebung

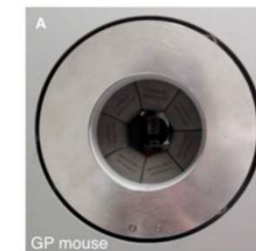
Spheriograph

μ SPECT (γ – Cube) System, Molecubes, Ghent

Generator	Curium, 2,15 GBq
Nuclide	[Tc ^{99m}]
Tracer	Sestamibi (MIBI)
Accumulation period	30 min
Acquisition duration	10 min
FOV	4,5 – 8nenn
Reconstruction parameter	MLEM, iterative, 500 μ m und 250 μ m



μ SPECT



	GP mouse
FOV	31 x 196 mm
Spatial resolution	0.7 mm
Bore size	32 mm



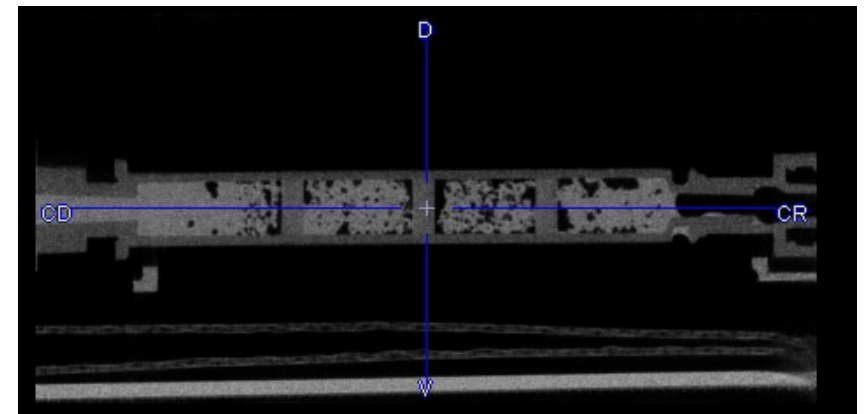
Beispiel – präklinische multimodale Bildgebung

Spheriograph

µCT (X-Cube) System, Molecubes, Ghent	
Acquisition	HR Scan (High resolution)
Reconstruction	iterative, 200µm und 100 µm



- One x-ray source
- Cone shaped X-ray beam
- Fixed geometry
- Focal spot size: 33µm
- Tungsten anode
- Filter: 0.8 mm Aluminium filter
- Detector material: CsI



Beispiel – präklinische multimodale Bildgebung

Set up - Biology

- Flushing with RPMI (Cell culture medium)
- Inducing activity: caudo – cranial
- Flushing: cranio - caudal
- No sterile filter used
- Incubation chamber at 37°C , without CO₂
- Cell death with MTT Essay

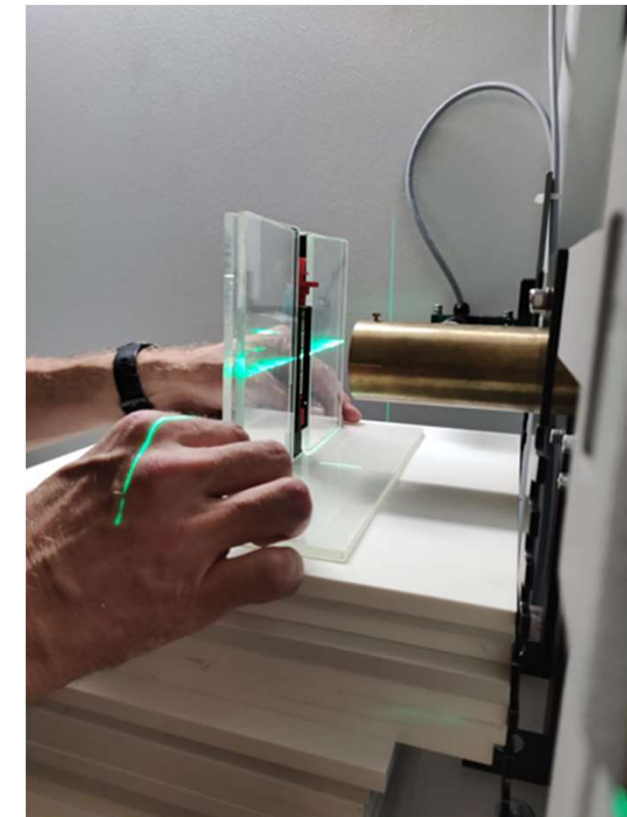
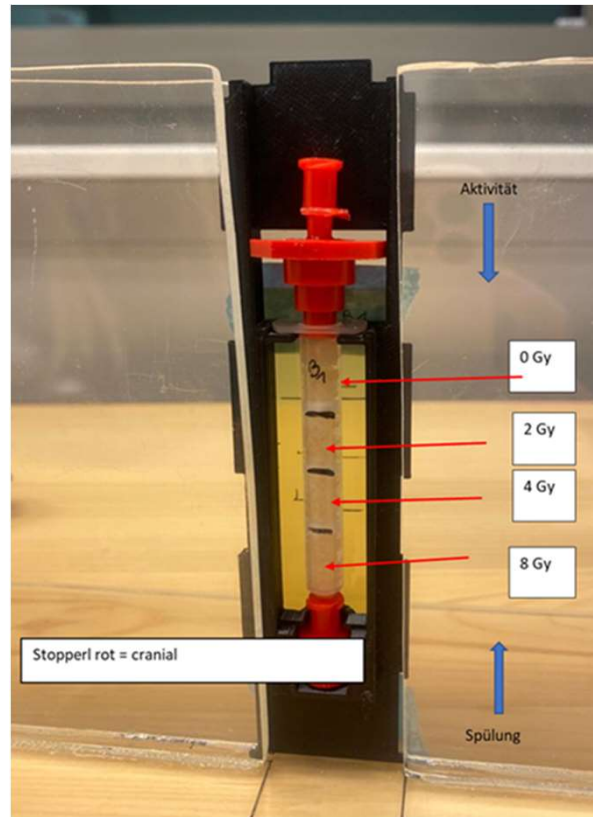




Beispiel – präklinische multimodale Bildgebung

Irradiation with photons and protons

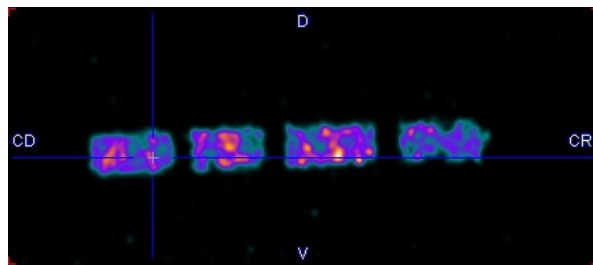
- Photon irradiation group A
- Proton irradiation group B
- Same positioning for imaging and irradiation
- Start with 2 Gy
- Usage of plates for adjusting the height



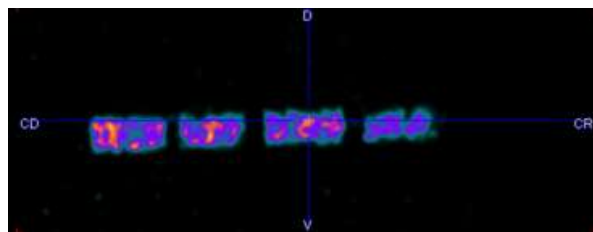


Beispiel – präklinische multimodale Bildgebung

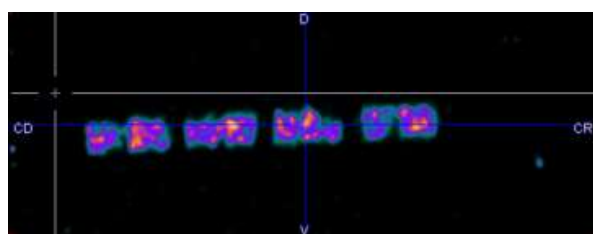
Unspecific binding



E1 – Silk only, without colon ca cells – 5,2 MBq



A1_PI_Tag1 – irradiation with photons – 5,5 MBq



B1_PI_Tag1 – irradiation with protons – 5,4 MBq

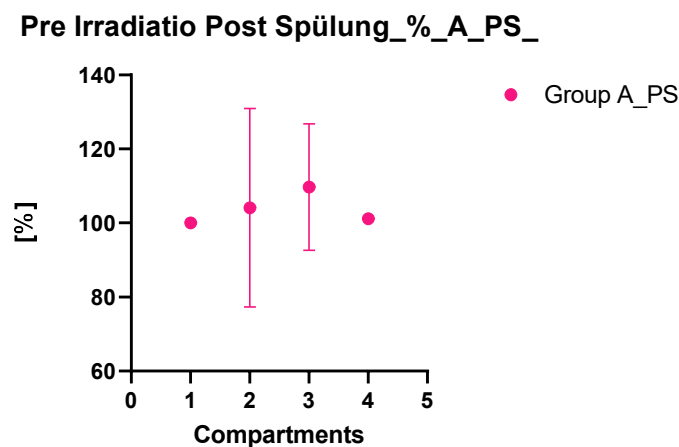


Beispiel – präklinische multimodale Bildgebung

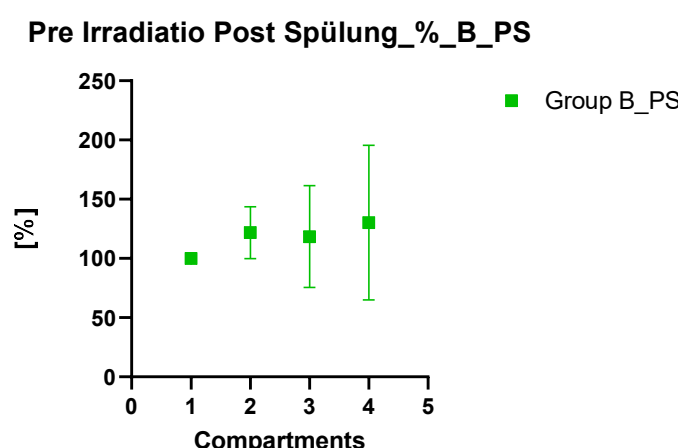
Graph Pad Prism

Day 0 – Pre irradiation % normalisation to compartment 1

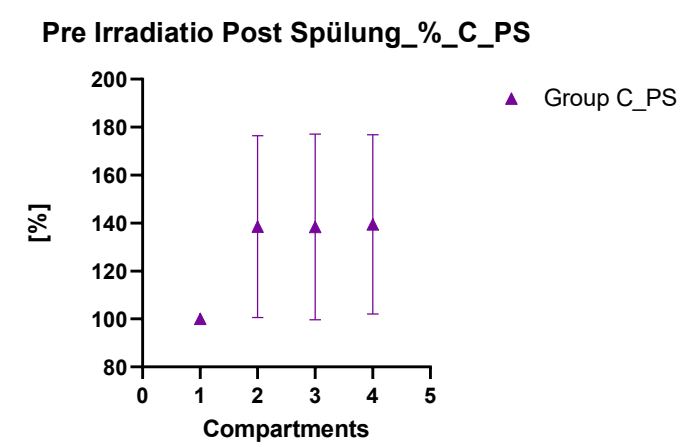
Group A



Group B



Group C



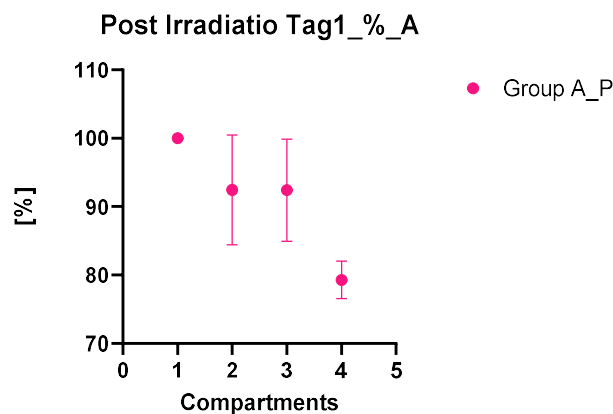


Beispiel – präklinische multimodale Bildgebung

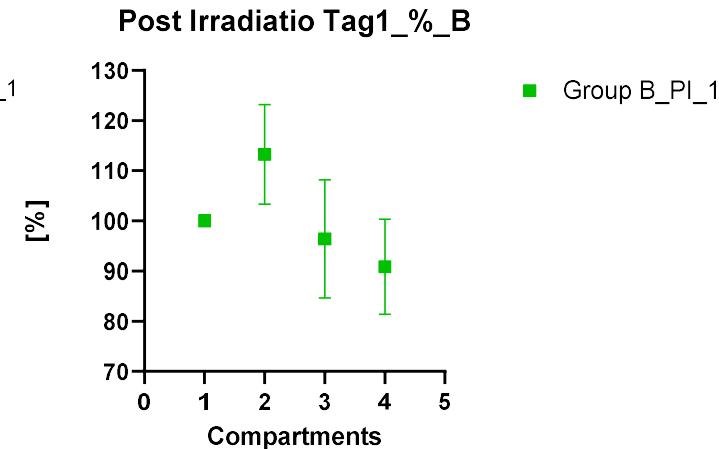
Graph Pad Prism

Day 1 – Post irradiation % normalisation to compartment 1

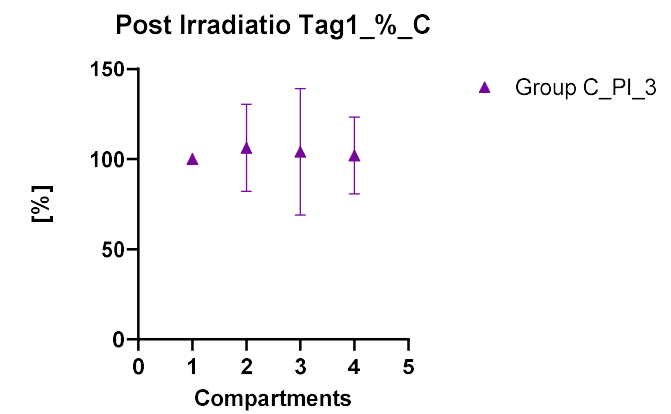
Group A



Group B



Group C

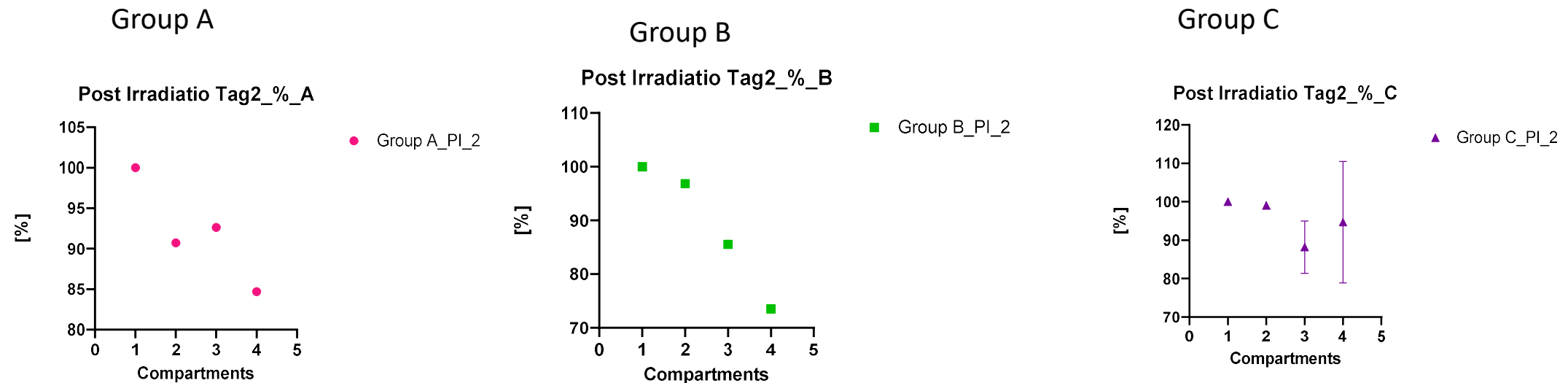




Beispiel – präklinische multimodale Bildgebung

Graph Pad Prism

Day 2 – Post irradiation % normalisation to compartment 1



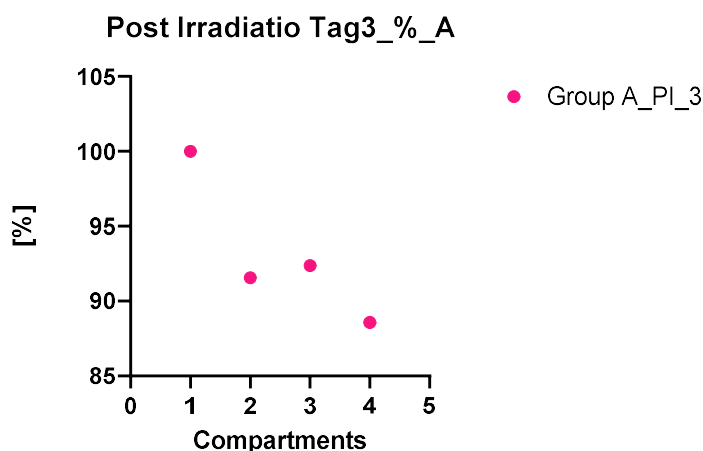


Beispiel – präklinische multimodale Bildgebung

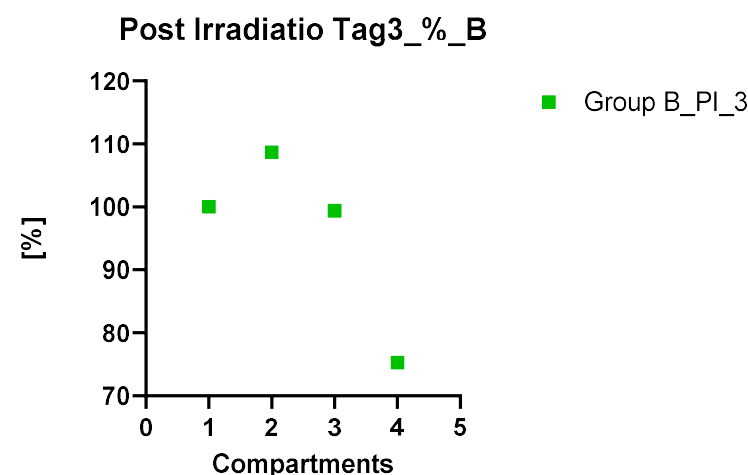
Graph Pad Prism

Day 3 – Post irradiation % normalisation to compartment 1

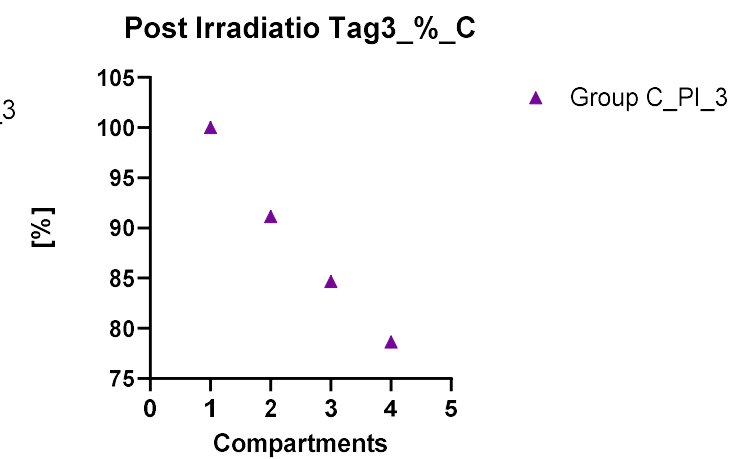
Group A



Group B



Group C



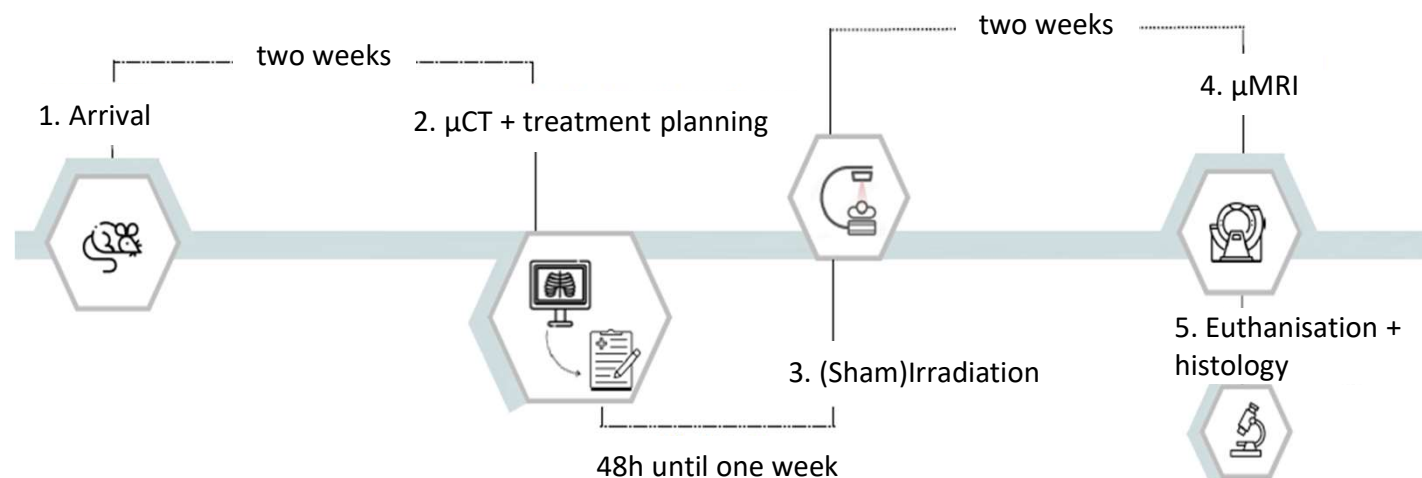


Beispiel – präklinische multimodale Bildgebung

Whole-Brain mouse irradiation to study normal tissue complications (NTC)

PILOT study:

- 15 female Balb/c mice, 6-8 Wochen
- Evaluation of potential pain with MGS scoring
- Pain management with Carprofen: s.c. (10mg/kg BW) via tip water (5mg/L)
- Evaluation of normal tissue complications after brain irradiation with photons and protons
- Validation of the methodological and technical set-up





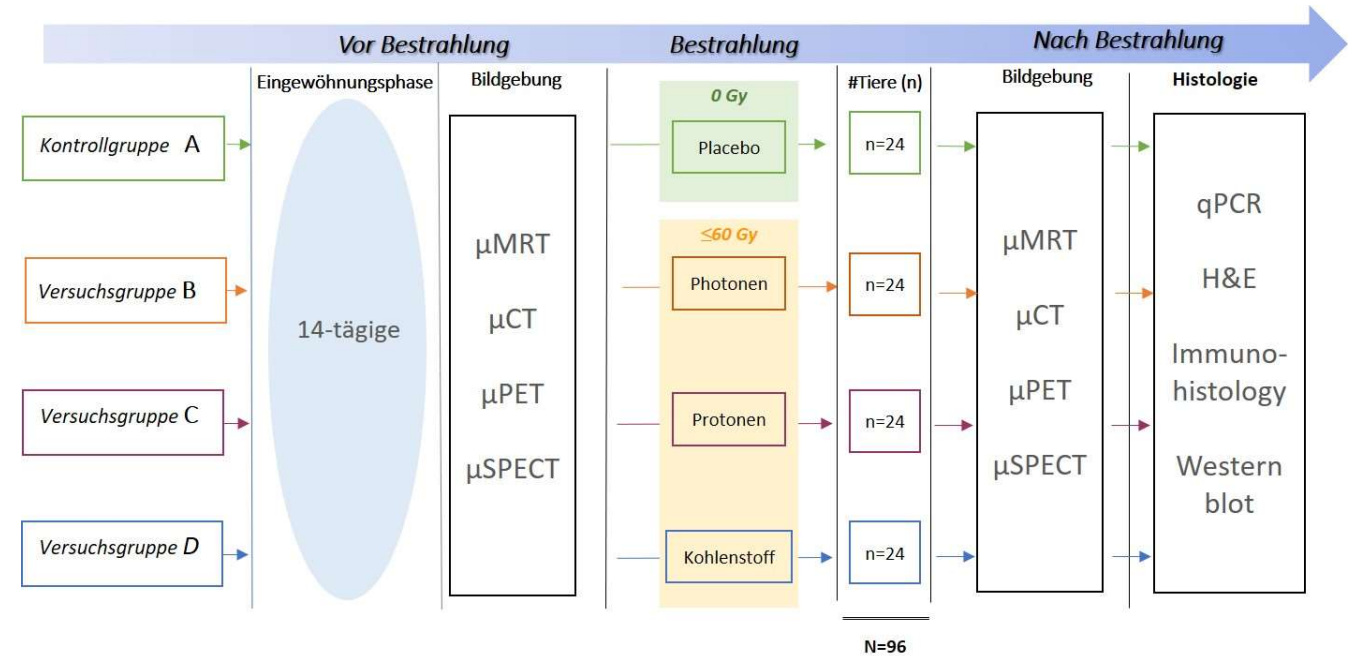
Beispiel – präklinische multimodale Bildgebung

Whole-Brain mouse irradiation to study normal tissue complications (NTC)

Main study:

- 102 Balb/c mice, 8-12 Wochen
- Pain management with Carprofen:
s.c. (10mg/kg BW) via tip water
(5mg/L)
- Evaluation of normal tissue
complications after brain irradiation
with photons and protons and carbon
ions
- Validation of the methodological and
technical set-up

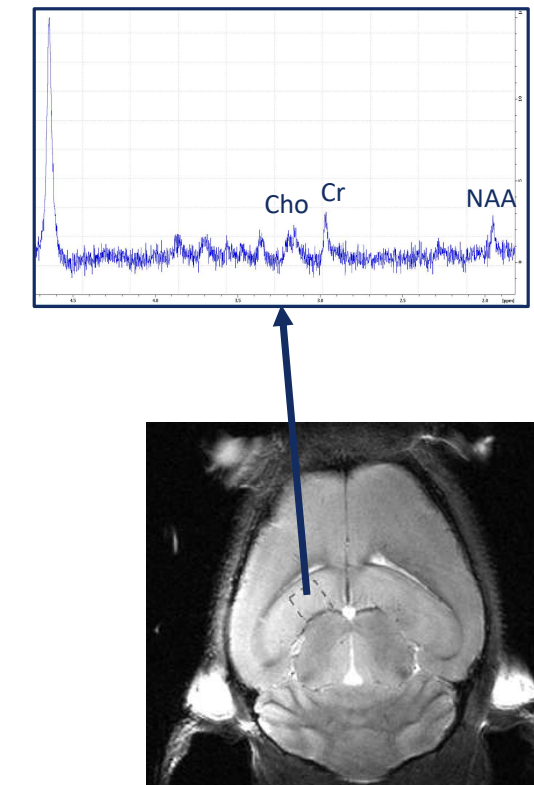
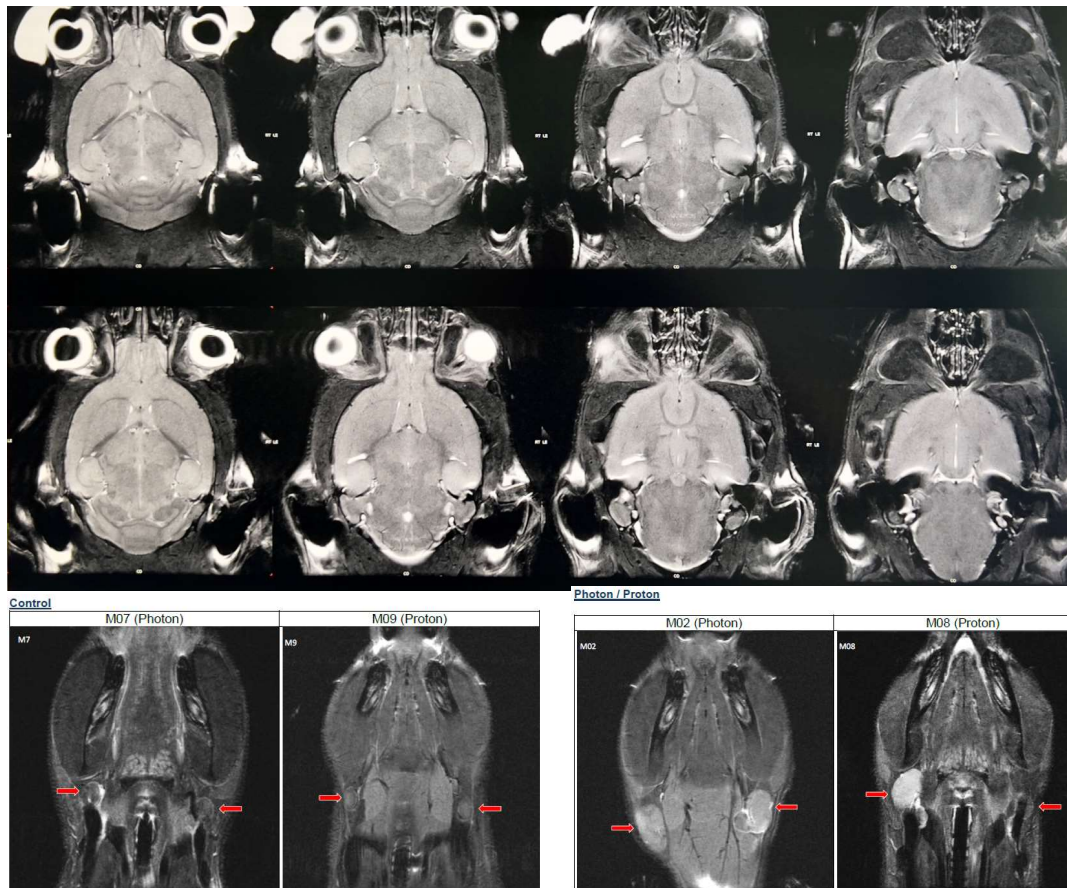
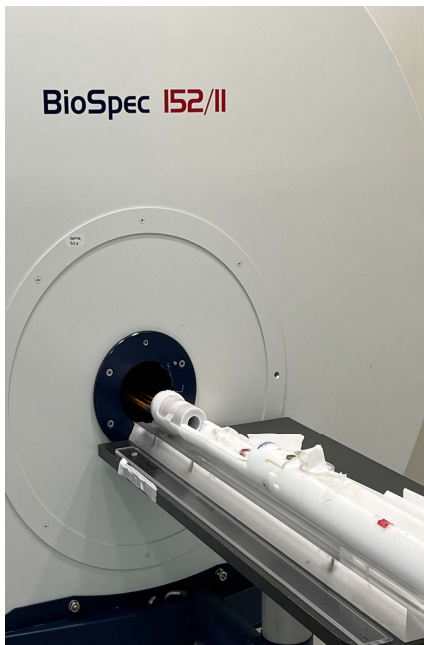
Study design





Beispiel – präklinische multimodale Bildgebung

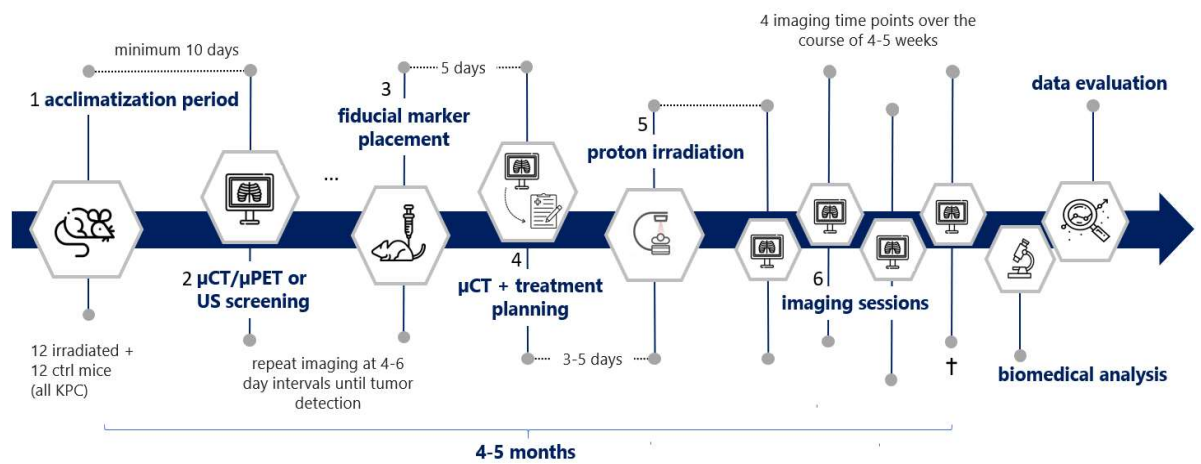
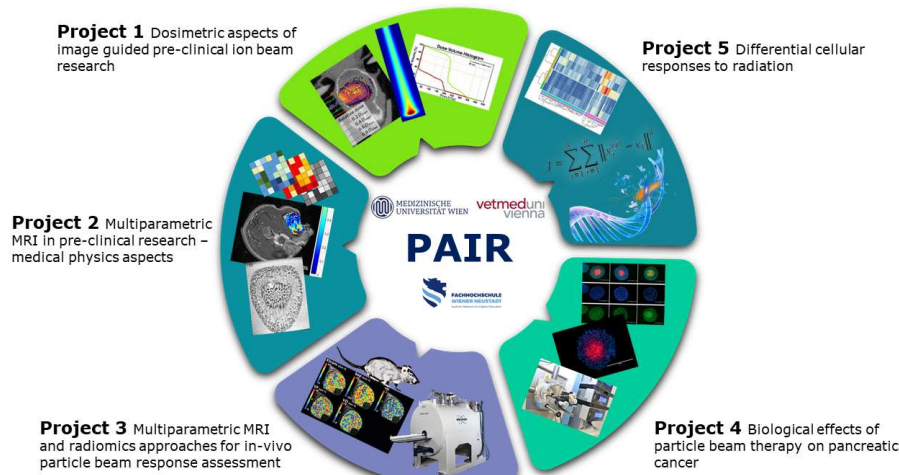
Whole-Brain mouse irradiation to study normal tissue complications (NTC)





Beispiel – präklinische multimodale Bildgebung

FWF PAIR project – Preclinical Ion Beam Research





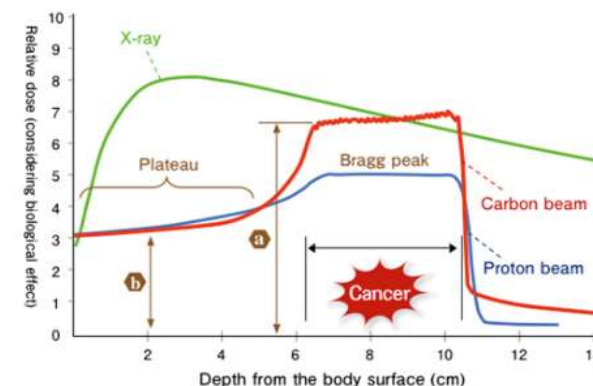
Beispiel – präklinische multimodale Bildgebung

PDAC:

- >90% of all pancreatic carcinomas
- Late diagnosis
- Aggressive tumor growth
- high risk of metastatic spreading
- Dire prognosis
- Increasing incidence world-wide
- Heterogenic tissue composition, hypoxic
- Limited therapy options due to high toxicity

Particle Therapy:

- Promising therapeutic option
- high radio-biological effect
- Better tumor control = survival rate
- Better sparing of normal/healthy tissue
- Precise dose deposition
- Better utilization of therapeutic dose

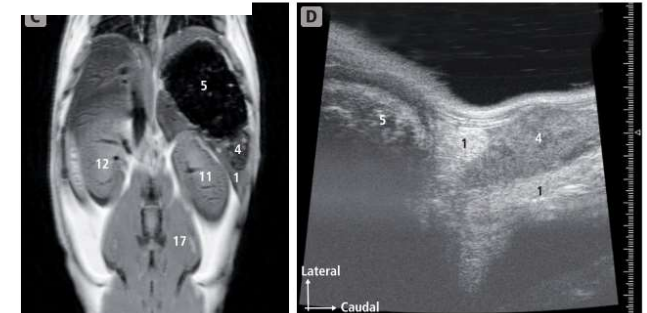
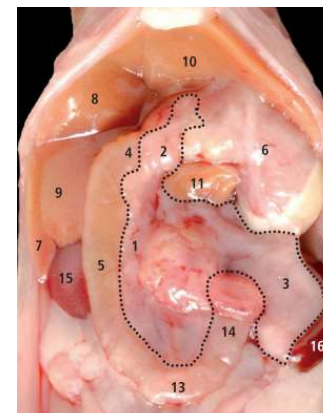
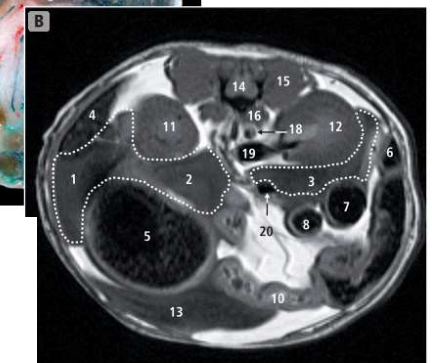
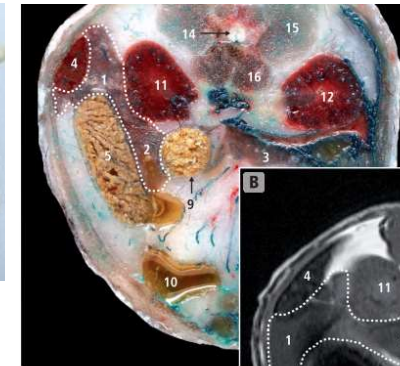


Beispiel – präklinische multimodale Bildgebung

- Establishing a robust *in vivo* tumor model for PDAC:
 - Heterotopic allograft model
 - Orthotopic transgenic model
- Workflow testing and optimization:
 - Irradiation (reproducible positioning, fiducial marker placement, imaging-guided irradiation, etc.)
 - Imaging (sequence and protocol optimization, respiratory gating, immobilization/positioning bed, etc.)



Example of flank tumors



Navarro, M., Ruberte, J., Carretero, A., Nacher, V., & Domínguez, E. (2017). Digestive tract. *Morphological Mouse Phenotyping: Anatomy, Histology and Imaging*, 89–146.
<https://doi.org/10.1016/B978-0-12-812972-2.50005-2>



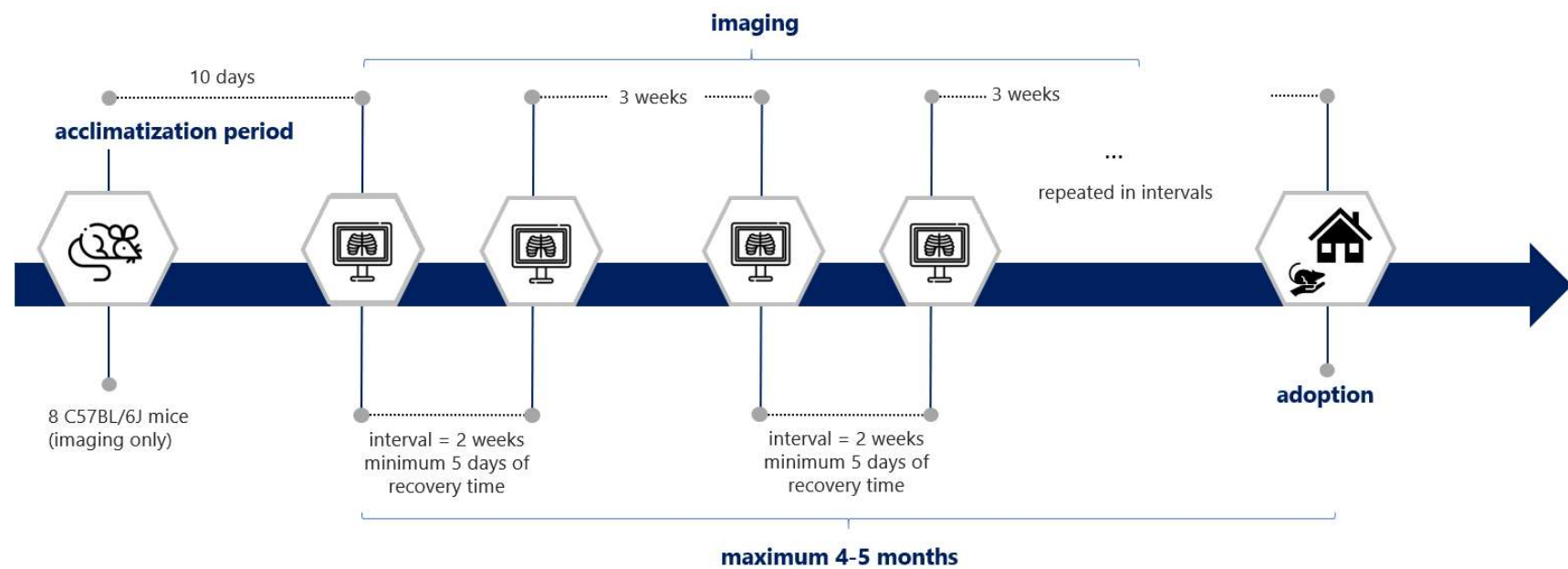
Beispiel – präklinische multimodale Bildgebung

- 20 C57BL/6J mice 4-6 weeks, Janvier Labs
- 36 KPC mice 4-6 weeks, Shanghai Model Organisms
- Max. 20Gy proton irradiation for both tumor models
- Imaging prior to IR = μ PET/ μ CT and/or US
- Imaging during IR = CBCT
- Imaging after IR = μ PET/ μ MRI, μ CT or US
- Health assessment score sheet daily and when needed; thereafter twice a week
- Weighing mice daily
- Caliper measurement in flank model daily
- Orthotopic tumors measured in size @ imaging time points





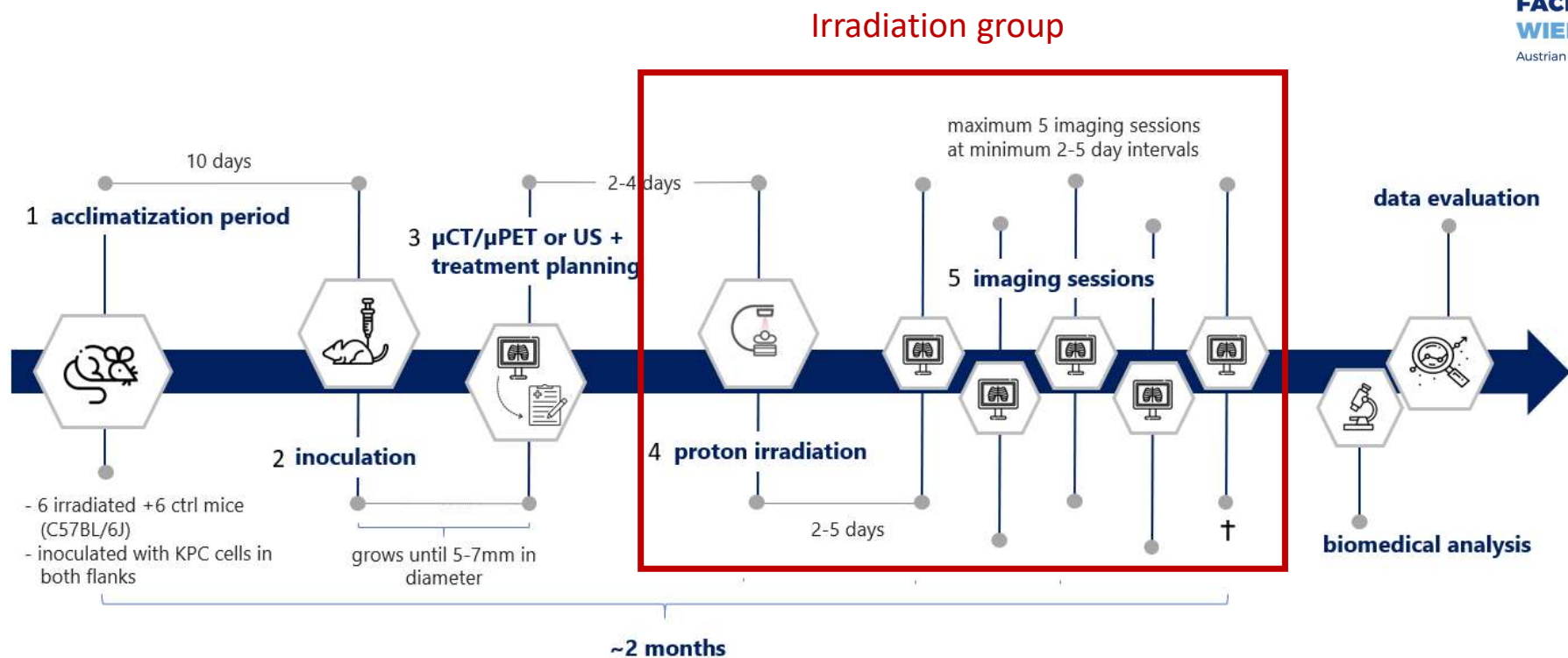
Beispiel – präklinische multimodale Bildgebung



ONLY IMAGING AND WORKFLOW



Beispiel – präklinische multimodale Bildgebung

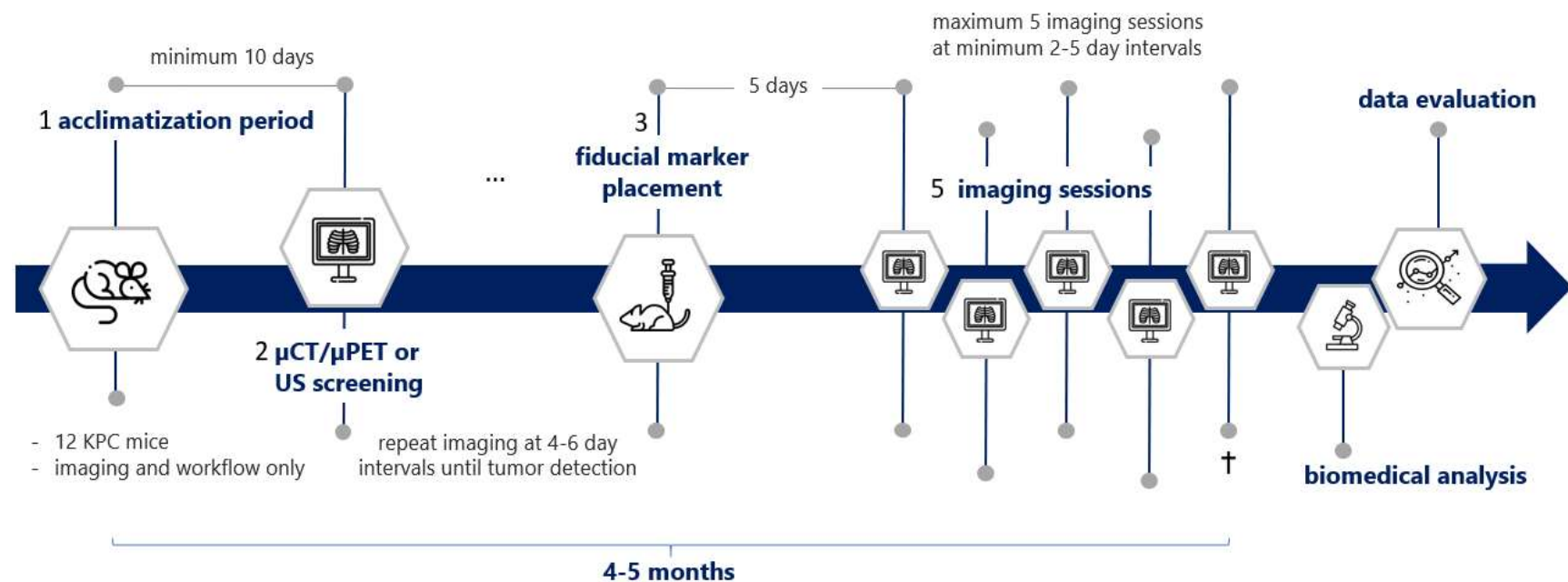


Outcome:

tumor progression, morphological, functional, molecular and immunobiological information



Beispiel – präklinische multimodale Bildgebung

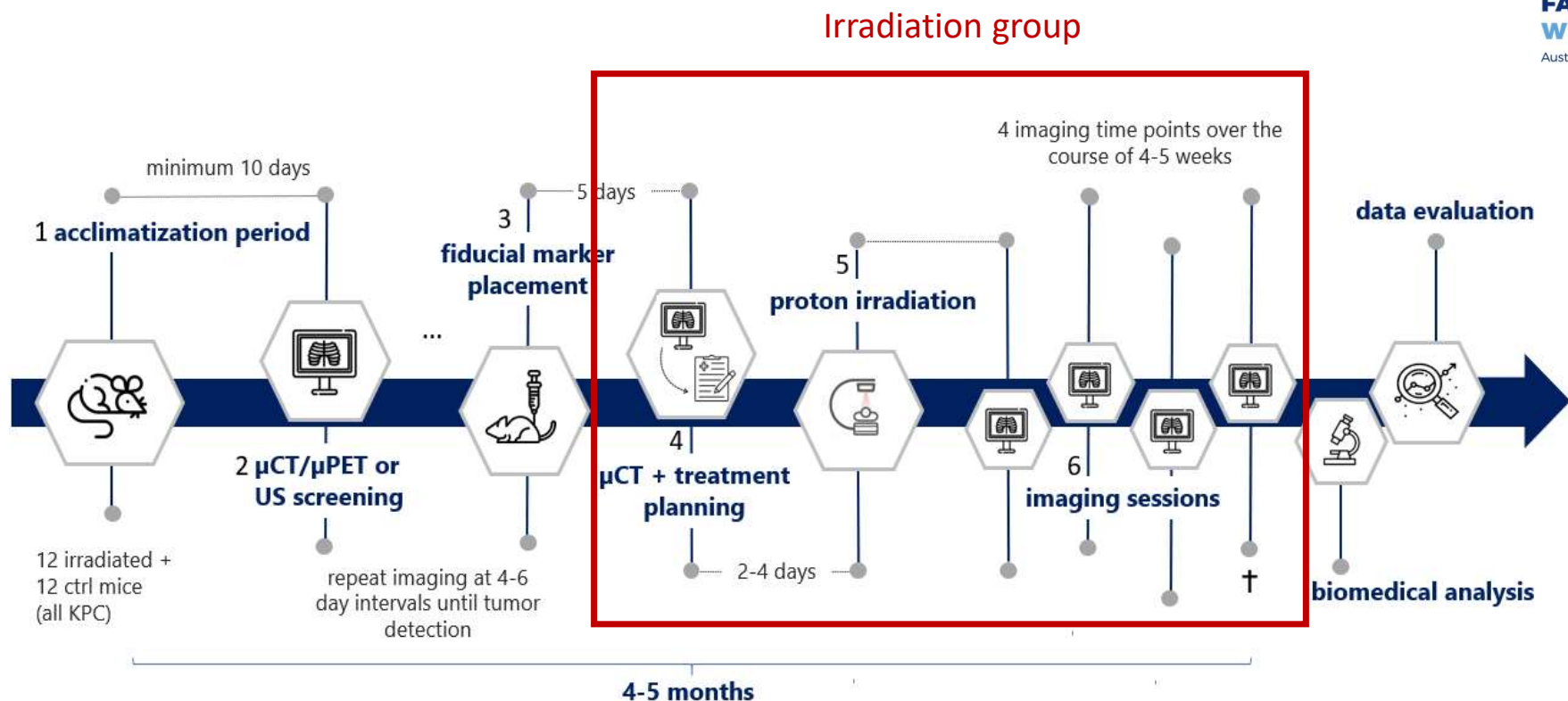


Outcome:

positioning verification, fiducial markers, optimizing imaging sequences and protocols to minimize duration of anesthesia, tumor detection and progression, immunobiological effects



Beispiel – präklinische multimodale Bildgebung



Outcome:

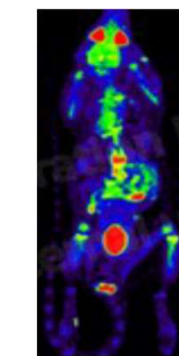
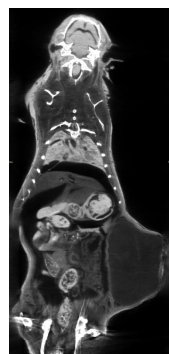
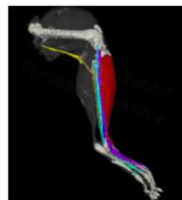
therapeutic response of tumor, angiogenesis/vascularization, metabolism, immuno-response



FACHHOCHSCHULE
WIENER NEUSTADT

Austrian Network for Higher Education

Vielen Dank für eure Aufmerksamkeit!



Competence Center for Preclinical Imaging and Biomedical Engineering
University of Applied Sciences Wiener Neustadt



Vielen Dank für eure Aufmerksamkeit!



„Science should be
one of the great
unifying forces in a
world of diversity.“

Peter Ratcliff

Competence Center for Preclinical Imaging and Biomedical Engineering
University of Applied Sciences Wiener Neustadt